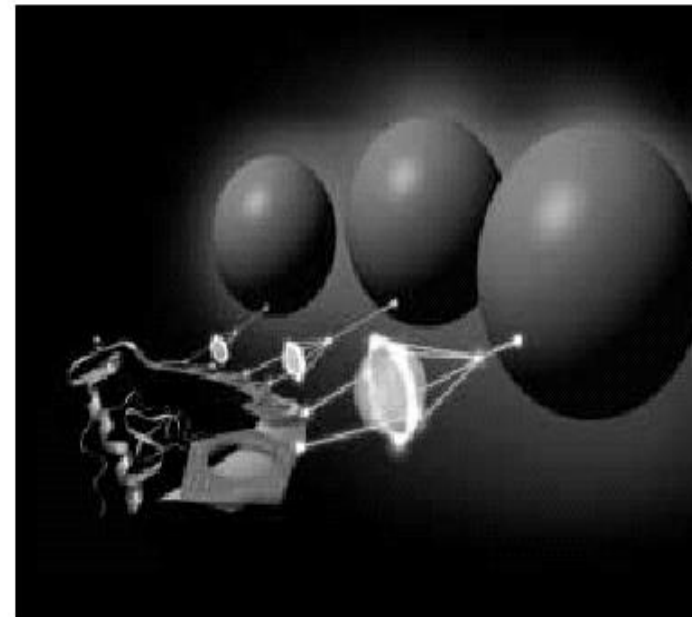


Exprese a purifikace rekombinantních protein



Radka Dopitová



Rekombinantní proteiny

Rekombinantní DNA je arteficiální DNA sekvence, která vznikla novou kombinací různých DNA sekvencí.

Rekombinantní proteiny jsou proteiny získané vnesením rekombinantní DNA do heterologního hostitele (nap. mikroorganismus, kvasinky), ve kterém dojde k exprese genu.

Výroba rekombinantních protein

Nadprodukce a purifikace rekombinantních protein jsou nezbytným podkladem pro:

Biochemickou funkci charakteristiku proteinu (určení přesných kinetických parametrů K_m , k_{cat} pro enzymy se substrátem, K_i pro enzymy s inhibitorem, K_d pro protein - proteinové interakce i ligand -proteinové interakce)

Strukturní analýzu (NMR, krystalografie)

Proteinové infenzivní (zlepšení vlastnosti proteinu - aktivity, stabilita)

V průmyslovém mítku jsou produkovaný léky, vakcíny a potravinové doplňky.

Cíl: Vysoký výtěk homogenního proteinu (mg / kg proteinu)

Zachování biologické aktivity

Pro vyráb t rekombinantní proteiny?

P irozený zdroj: É Obtífln se získavá (tkán , orgány).

É Obtífln se kultivuje (bakterie, viry, tká ové kultury).

É Limitovaná exprese

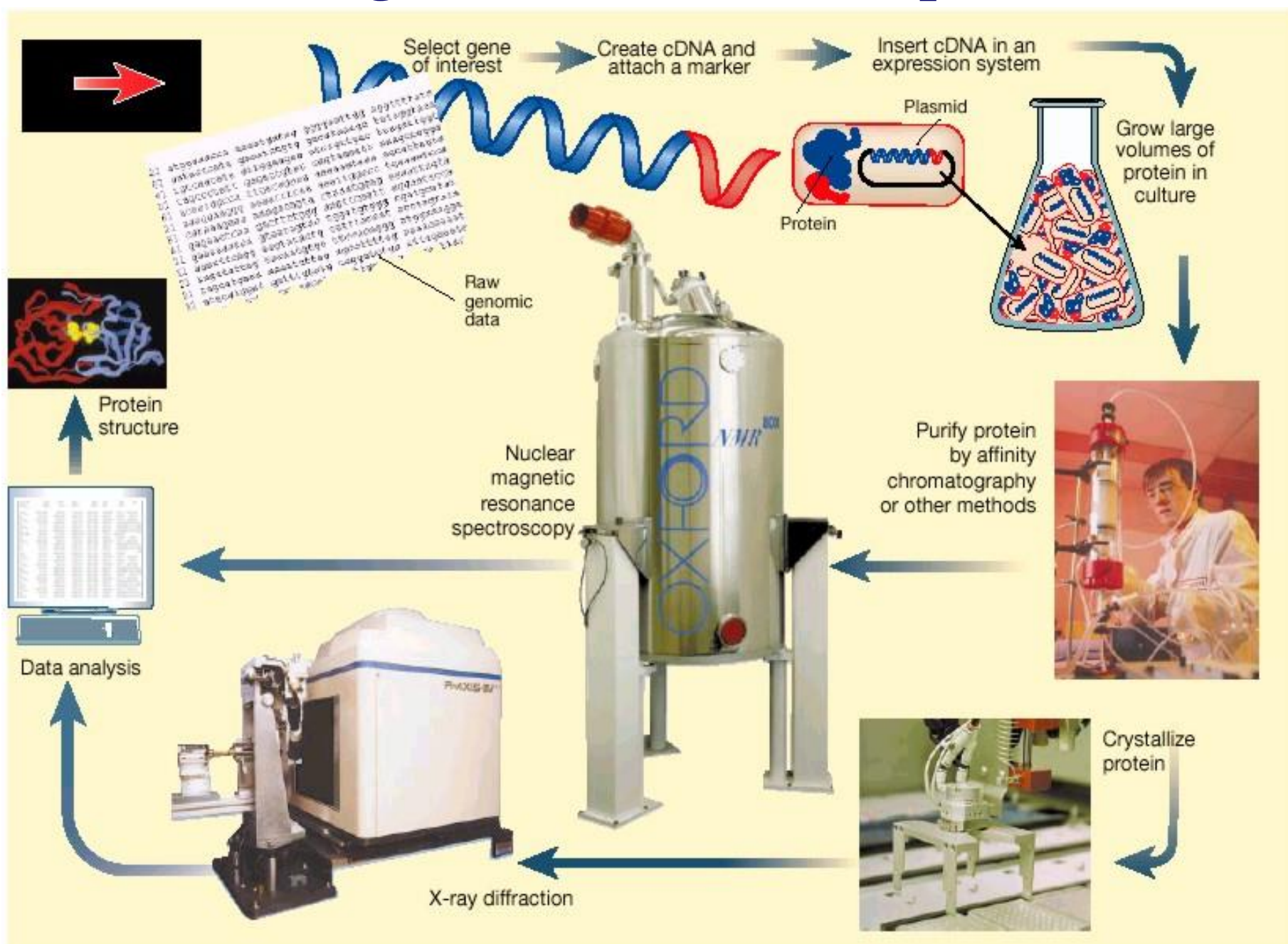
É Rásto obtíflná purifikace proteinu

TABLE 1.2. Examples of low-abundance proteins and peptides isolated from natural biological sources

Protein	Source	Yield (µg)	Reference
Multipotent colony-stimulating factor	pokeweed mitogen-stimulated mouse spleen-cell-conditioned medium (10 liters)	1	Cutler et al. (1985)
Human A33 antigen	human colon cancer cell lines (10^{10} cells)	2.5	Catimel et al. (1996)
Platelet-derived growth factor (PDGF)	human serum (200 liters)	180	Heldin et al. (1981)
Granulocyte-colony-stimulating growth factor (G-CSF)	mouse lung-conditioned medium (3 liters)	40	Nicola et al. (1983)
Granulocyte-macrophage colony-stimulating growth factor (GM-CSF)	mouse lung-conditioned medium (3 liters)	12	Burgess et al. (1986)
Coelenterate morphogen	sea anemone (200 kg)	20	Schaller and Bodenmuller (1981)
Peptide YY (PYY)	porcine intestine (4000 kg)	600	Tatemoto (1982)
Tumor necrosis factor (TNF)	HL60 tissue culture medium (18 liters)	20	Wang and Creasy (1985)
Murine transferrin receptor	NS-1 myeloma cells (10^{10} cells)	20	van Driel et al. (1984)
Fibroblast growth factor (FGF)	bovine brain (4 kg)	33	Gospodarowicz et al. (1984)
Transforming growth factor-β (TGF-β)	human placenta (8.8 kg)	47	Frolík et al. (1983)
Human interferon	human leukocyte-conditioned medium (10 liters)	21	Rubinstein et al. (1979)
Muscarinic acetylcholine receptor	porcine cerebrum (600 g)	6	Haga and Haga (1985)
β ₂ -adrenergic receptor	rat liver (400 g)	2	Graziano et al. (1985)

Adapted, with permission, from Simpson and Nice (1989).

Technologie rekombinantrích protein



Hostitelský organismus pro expresi rekombinantních protein

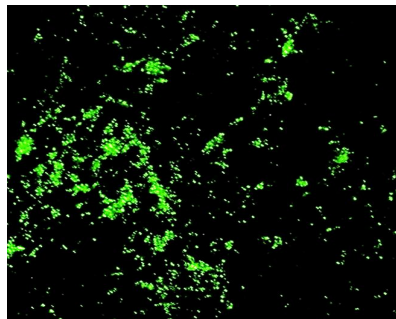
- É Bakterie (nízké náklady, vysoká rychlosť rastu, vysoká úroveň exprese)
- É Kvasinky (nízké náklady, vysoká rychlosť rastu, nízká ale vysoká úroveň exprese)
- É Hmyzí buňky (vysoké náklady, nízká rychlosť rastu, nízká ale vysoká úroveň exprese)
- É Savčí buňky (vysoké náklady, nízká rychlosť rastu, v tomto inou nízká úroveň exprese)

Expresní systém	Posttranslační modifikace					
	N-glykosylace	O-glykosylace	Fosforylace	Acetylace	Acylace	γ -karboxylace
<i>E. coli</i>	chybí	-	-	-	-	-
Kvasinky	vysoce manosilované glykany	+	+	+	+	-
Hmyzí buňky	jednoduchá, bez sializace	+	+	+	+	-
Savčí buňky	komplexní	+	+	+	+	+

- É In vitro transkripce a translace

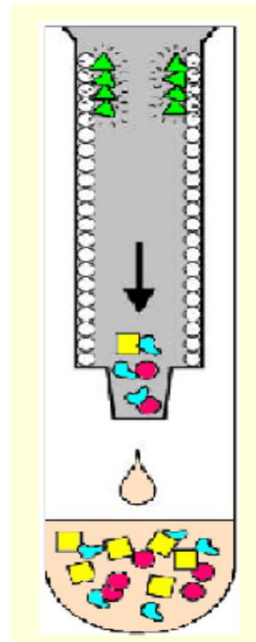
Obsah přednášky

1. ást: Exprese rekombinantních protein v *E.coli*



Exprese protein fúzovaných s GFP v *E. coli*

2. ást: Purifikace rekombinantních protein



Purifikace protein fúzovaných s GFP pomocí hydrofóbní matrice

Produkce heterologních protein v *E. Coli*

VÝHODY :

É Vysoká produkce rekombinantních protein

É Dob e prostudovaný genom a proteom-usnadn ní
genových manipulací

É Designady vektor usnad uje klonování a expresi cizích gen

É Rychlý r st v pom rn levném médiu

É P izp sobivost systému

Produkce heterologních protein v *E. Coli*

NEVÝHODY:

É Potřeba cDNA zkoumaného proteinu

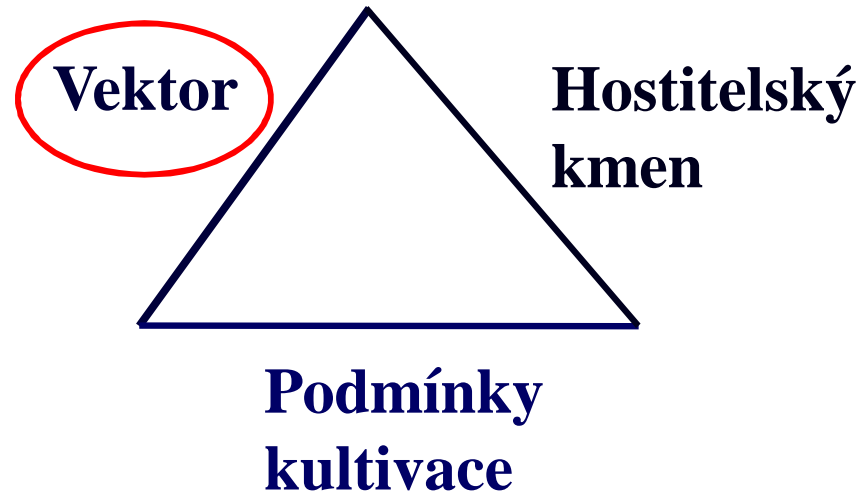
É Absence eukaryotických posttranslačních systémů (posttranslační modifikace)

É Tvorba nerozpustných inkluzních tělisek

É Omezená schopnost tvorby disulfidických vazeb

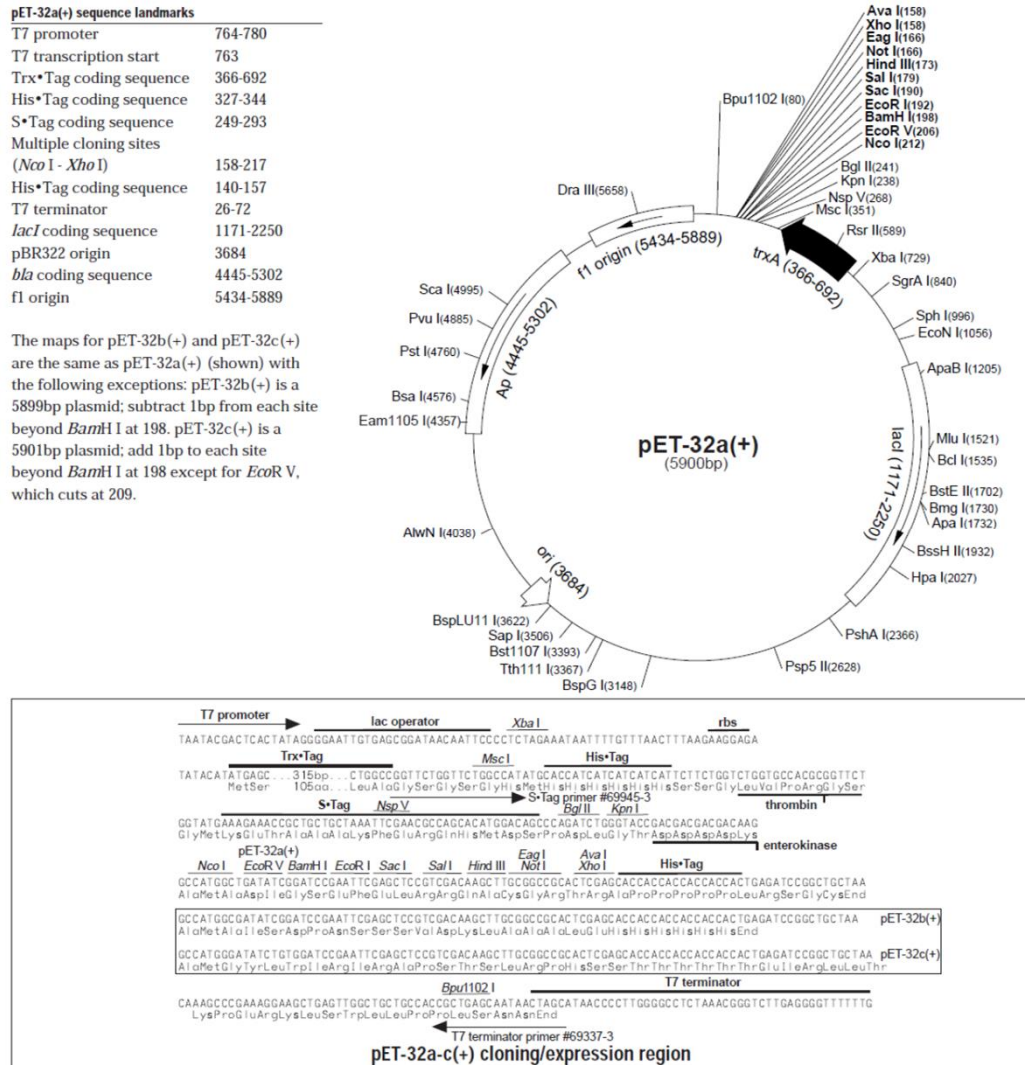
É Chybí sekrecní mechanismus pro úpravu a ování proteinu do kultivačního média

Expresní systém pro produkci rekombinantních protein v *E.coli*



Expresní vektor

= klonovací vektor, který obsahuje nezbytné regula ní sekvence k tomu, aby podporoval expresi inzert cizích gen .

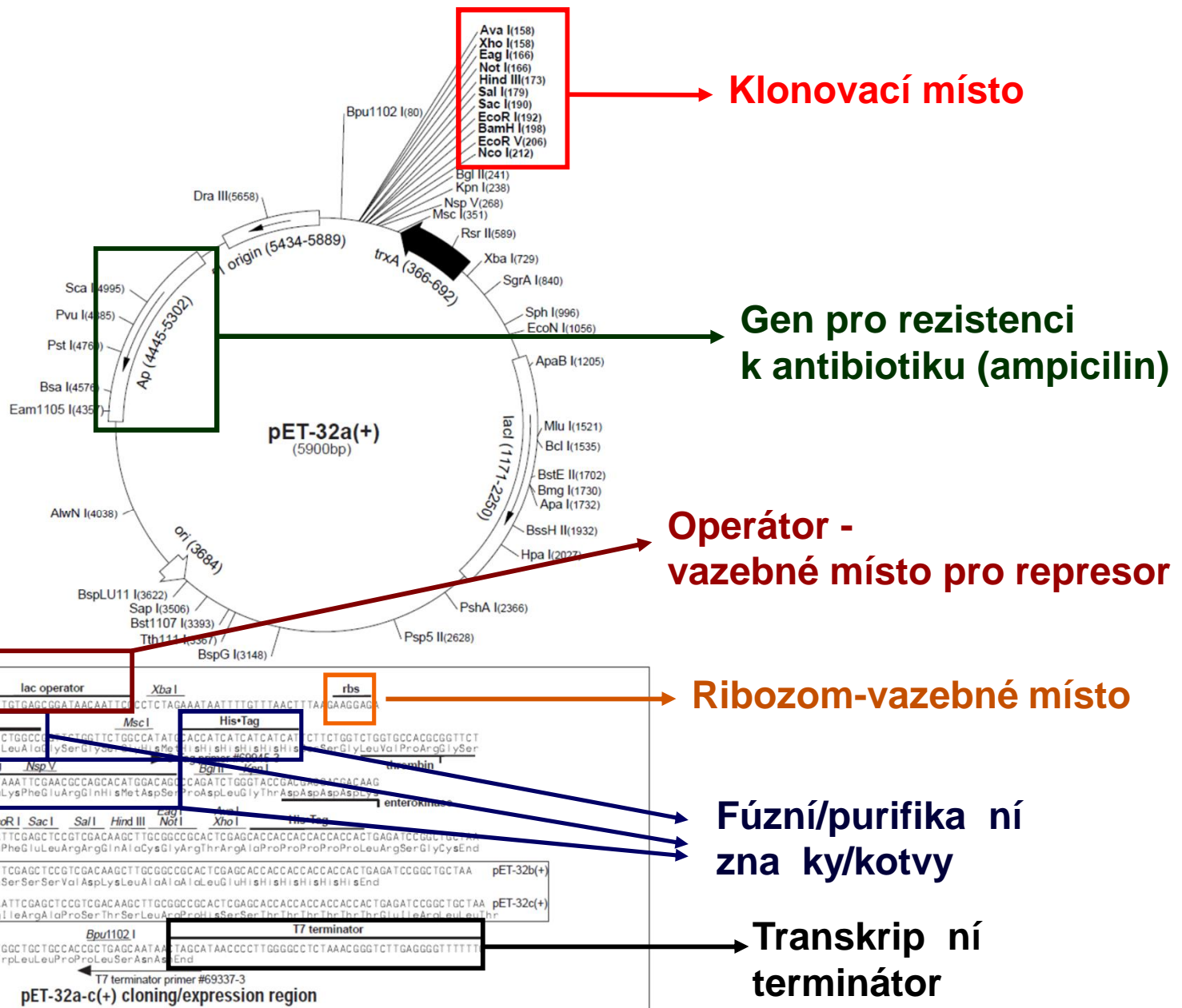


Struktura vektoru pro ú innou expresi rekombinantních protein v *E.coli*

pET-32a(+) sequence landmarks

T7 promoter	764-780
T7 transcription start	763
Trx•Tag coding sequence	366-692
His•Tag coding sequence	327-344
S•Tag coding sequence	249-293
Multiple cloning sites	
(Nco I - Xho I)	158-217
His•Tag coding sequence	140-157
T7 terminator	26-72
lacI coding sequence	1171-2250
pBR322 origin	3684
bla coding sequence	4445-5302
f1 origin	5434-5889

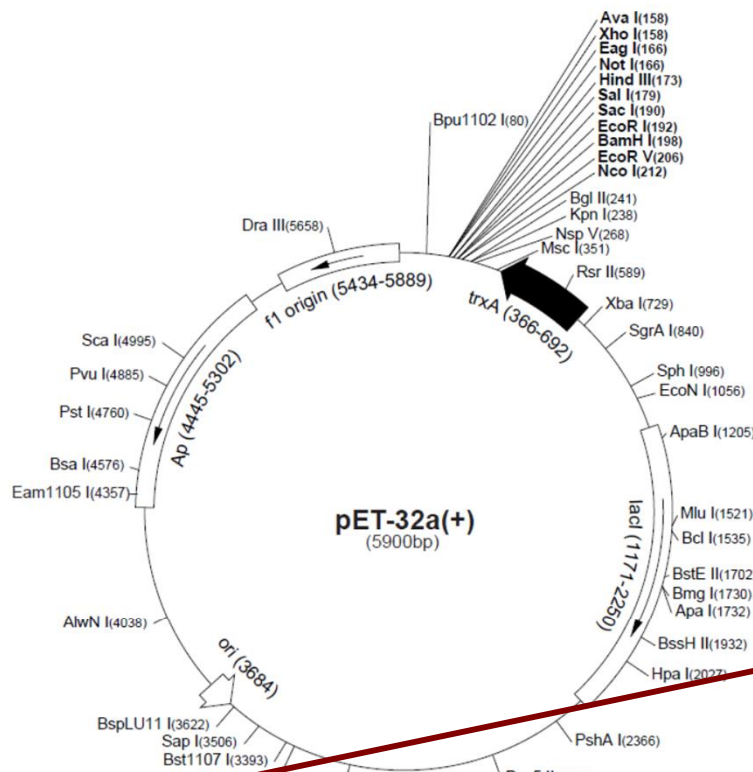
The maps for pET-32b(+) and pET-32c(+) are the same as pET-32a(+) (shown) with the following exceptions: pET-32b(+) is a 5899bp plasmid; subtract 1bp from each site beyond *BamH* I at 198. pET-32c(+) is a 5901bp plasmid; add 1bp to each site beyond *BamH* I at 198 except for *EcoR* V, which cuts at 209.



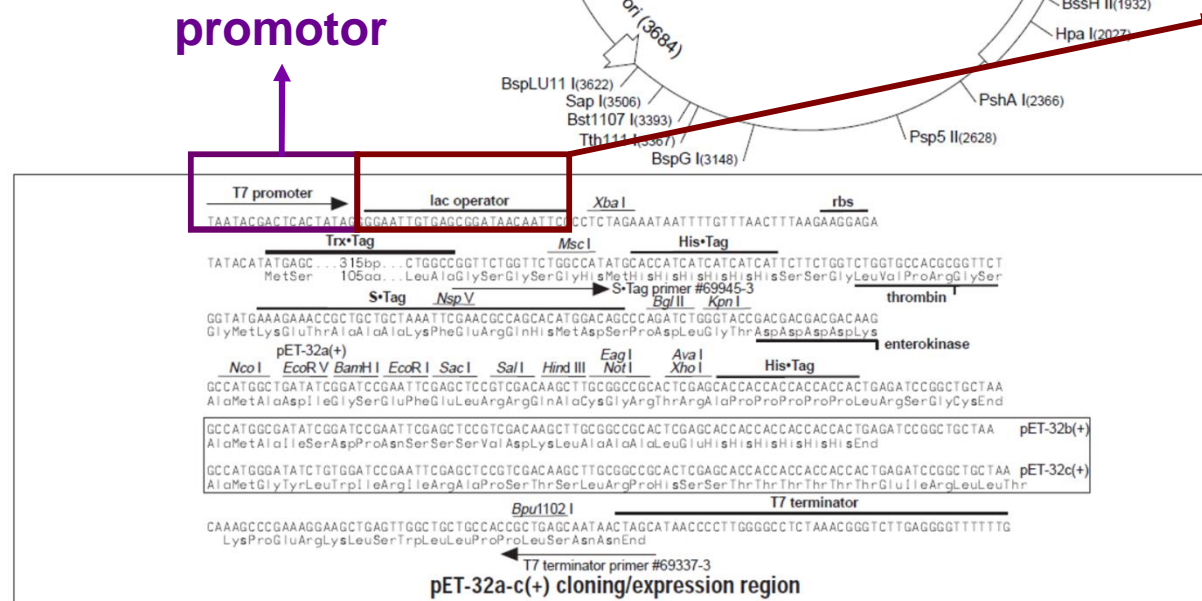
Struktura vektoru pro účinnou expresi rekombinantních proteinů v *E.coli*

pET-32a(+) sequence landmarks	
T7 promoter	764-780
T7 transcription start	763
Trx•Tag coding sequence	366-692
His•Tag coding sequence	327-344
S•Tag coding sequence	249-293
Multiple cloning sites (<i>Nco</i> I - <i>Xho</i> I)	158-217
His•Tag coding sequence	140-157
T7 terminator	26-72
<i>lacZ</i> coding sequence	1171-2250
pBR322 origin	3684
<i>bla</i> coding sequence	4445-5302
f1 origin	5434-5889

The maps for pET-32b(+) and pET-32c(+) are the same as pET-32a(+) (shown) with the following exceptions: pET-32b(+) is a 5899bp plasmid; subtract 1bp from each site beyond *Bam*H I at 198. pET-32c(+) is a 5901bp plasmid; add 1bp to each site beyond *Bam*H I at 198 except for *Eco*R V, which cuts at 209.



Operátor - vazebné místo pro represor



Vlastnosti promotoru:

ÉSilný promotor (ptac, ptrp, λ pL, pT₇)

- Protein zájmu by měl tvořit 10-30% a více z celkového bakteriálního proteinu.

ÉP enositelný do různých kmen *E.coli*

ÉJednoduché a levnější inducibilní

- Teplotní indukce (λ pL)
- Chemická indukce (ptac, ptrp, pT7): IPTG (isopropyl- β -D-thiogalaktopyranozid)

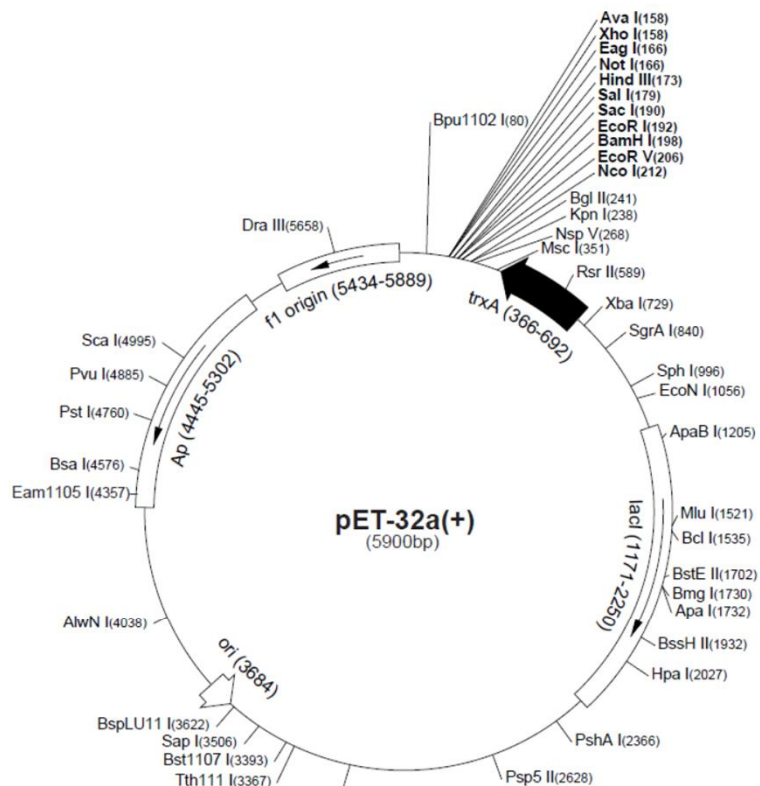
ÉVykazuje minimální hladinu bazální exprese

- Pokud jsou proteiny netoxické dosahuje se vysokých výtisků proteinů v stem buněk do vysokých hustot s následnou indukcí aktivity promotoru.
- U toxických proteinů je nutná minimalizace bazální transkripce před přídavkem indukčního inidla pomocí vhodného represoru.

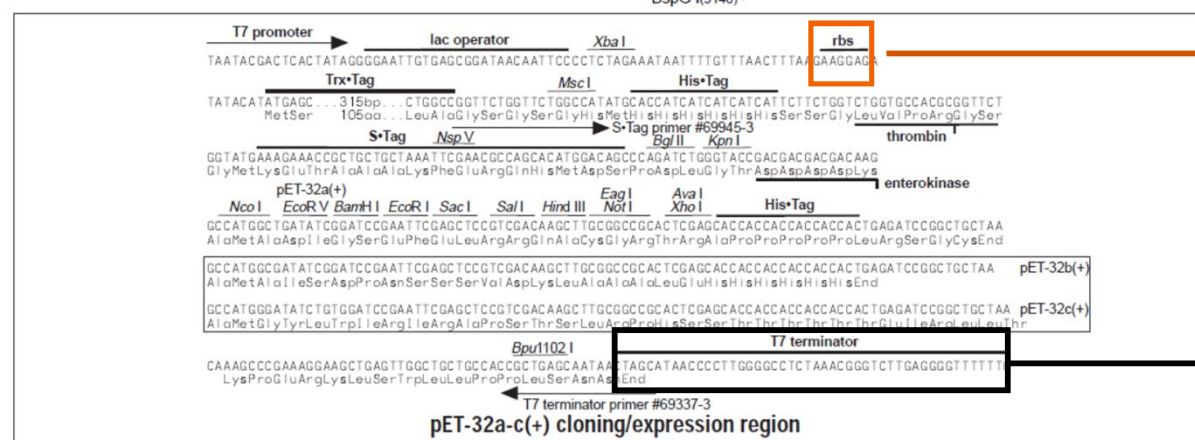
Struktura vektoru pro účinnou expresi rekombinantních proteinů v *E.coli*

pET-32a(+) sequence landmarks	
T7 promoter	764-780
T7 transcription start	763
Trx•Tag coding sequence	366-692
His•Tag coding sequence	327-344
S•Tag coding sequence	249-293
Multiple cloning sites (<i>Nco</i> I - <i>Xho</i> I)	158-217
His•Tag coding sequence	140-157
T7 terminator	26-72
<i>lacZ</i> coding sequence	1171-2250
pBR322 origin	3684
<i>bla</i> coding sequence	4445-5302
f1 origin	5434-5889

The maps for pET-32b(+) and pET-32c(+) are the same as pET-32a(+) (shown) with the following exceptions: pET-32b(+) is a 5899bp plasmid; subtract 1bp from each site beyond *Bam*H I at 198. pET-32c(+) is a 5901bp plasmid; add 1bp to each site beyond *Bam*H I at 198 except for *Eco*R V, which cuts at 209.

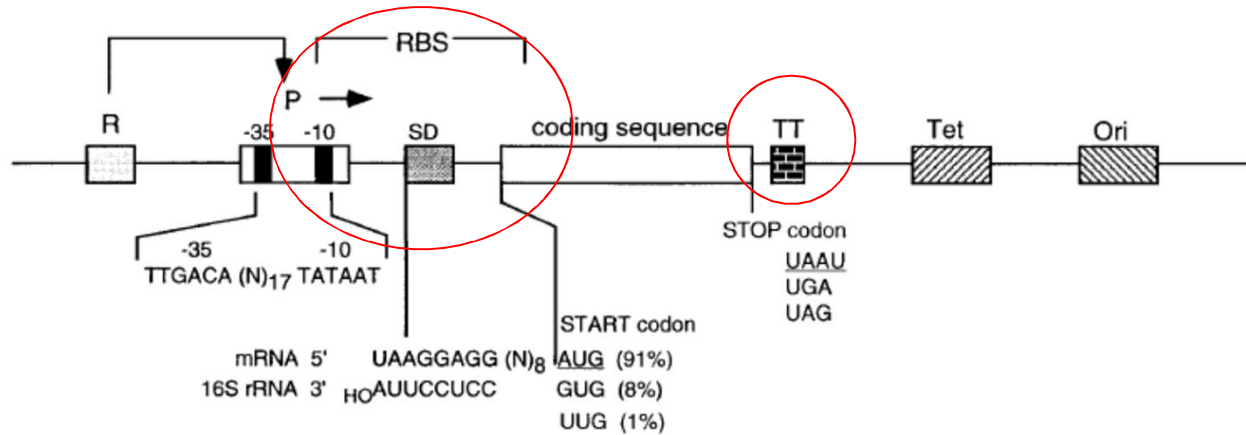


► Ribozom-vazebné místo



→ Transkripcióní terminátor

Struktura vektoru pro ú innou expresi rekombinantních protein v *E.coli*



Ribozom-vazebné místo: zahrnuje Shine-Dalgarnova (SD) sekvenci a transla ní inicio ní kodon

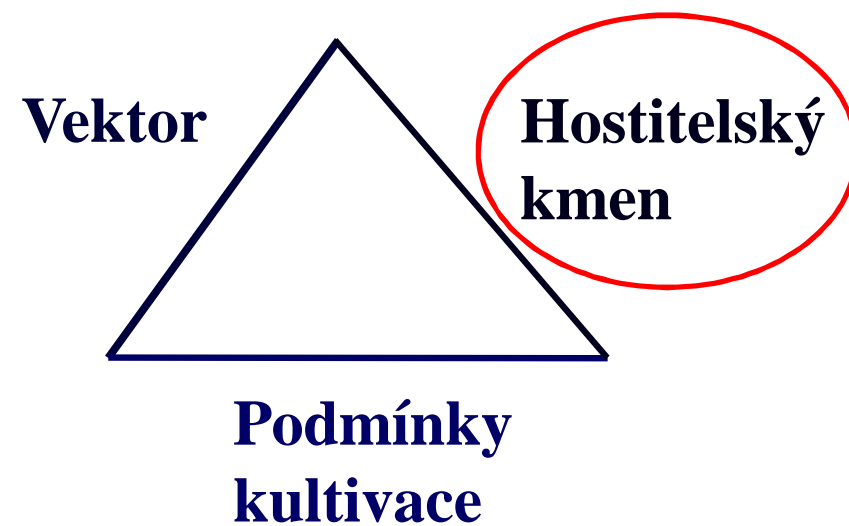
Vzdálenost mezi SD sekvencí a inicio ním kodonem AUG je 4-13 nukleotid , tato vzdálenost ovliv uje ú innost iniciace translace (**optimální vzdálenost je 4-8 nukleotid**), oblast bohatá na AT páry.

Transkripní terminátor

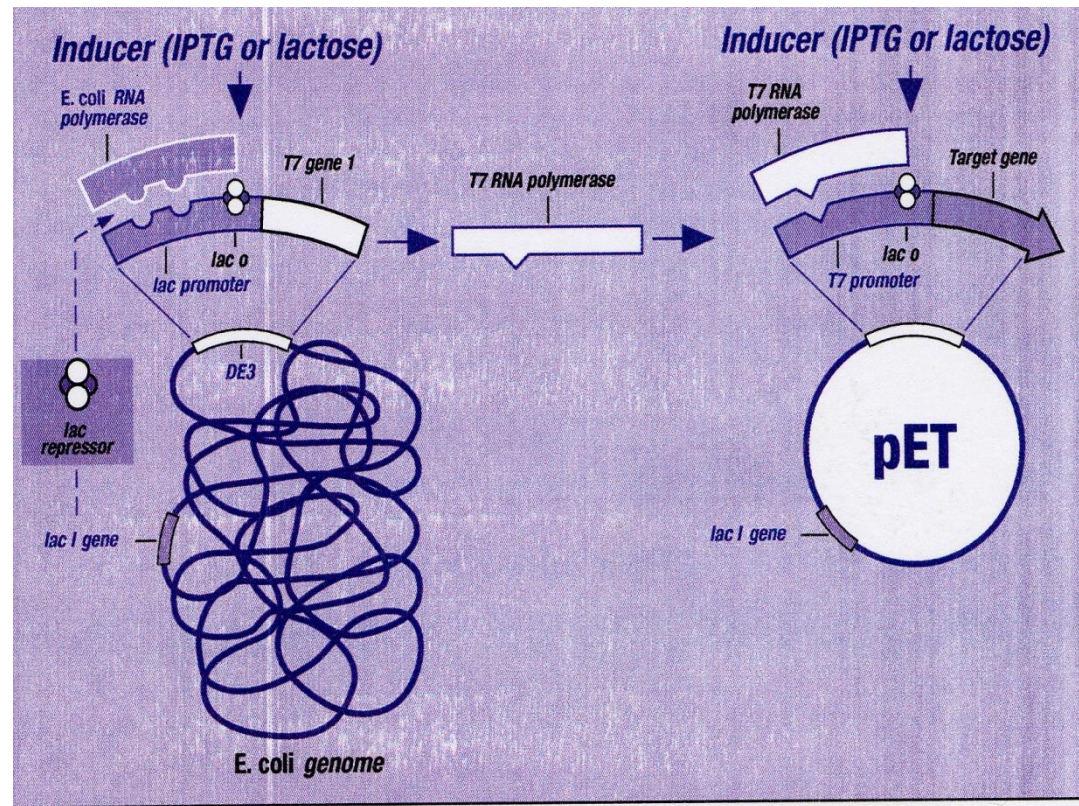
T₇ term, rrnT1,T2

(zabra uje okluzi promotoru, zvyuje stabilitu mRNA)

Výb r hostitelského kmene *E.coli*



Exprese rekombinantního proteinu v hostitelském kmeni *E. coli* BL21(DE3)



Toxicita rekombinantního proteinu pro hostitelský kmen

ÉNení omezena na pouhý fakt, že je protein pro buňku cizí, ale může být způsobena i tím, že je nadprodukovaný určitý nativní gen.

Pro hostitele jsou smrtelné:

ÉRekombinantní proteiny s hydrofóbními oblastmi mají toxický účinek - asociaují se s membránou nebo se inkorporují do membránového systému buňky (porušení membránového potenciálu).

ÉProteiny, které inaktivují ribozomy.

Výb r hostitelského kmene *E.coli* s ohledem na toxicitu proteinu pro hostitele



ÉNutná p ísná regulace expresního systému

Komer n dostupné bakteriální kmeny s r znými úrovn mi regulace exprese, zaji– ujícími minimalizaci bazální exprese.

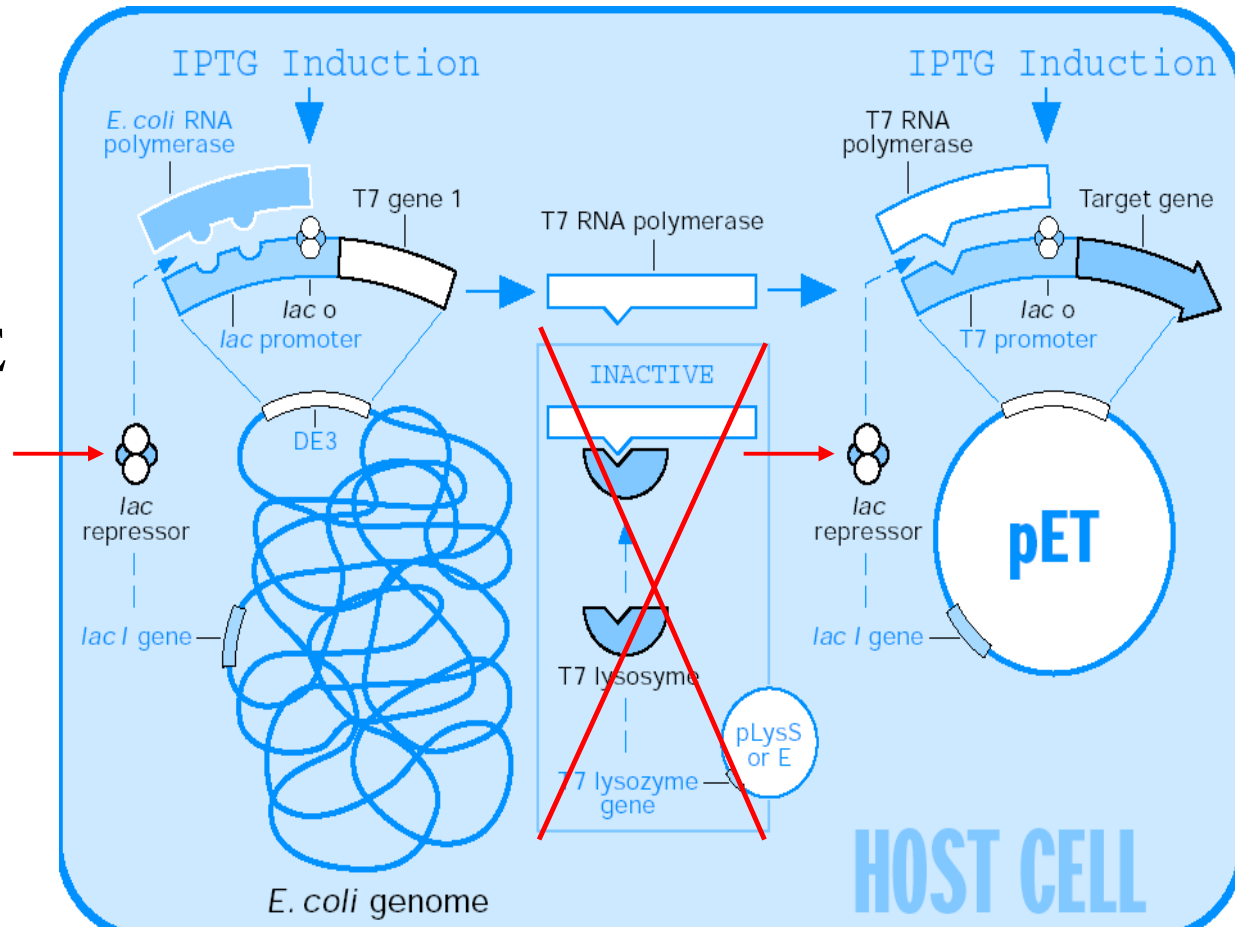
BL21(DE3)	firma Novagen
BL21(DE3)pLysS	firma Novagen

R zné úrovň minimalizace bazální exprese

✓ BL21(DE3)

BL21(DE3)pLysS/E

BL21



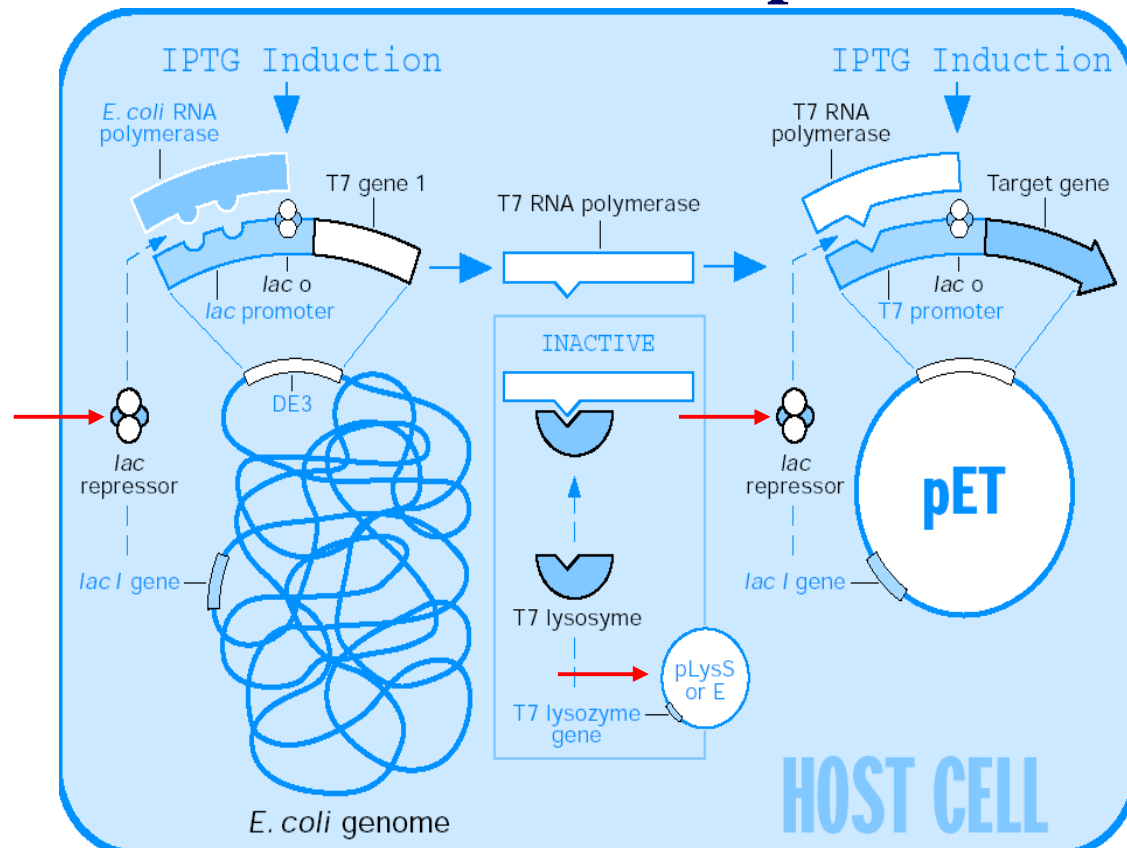
Cca 10 % hladina bazální exprese (p ed indukcí exprese) klonovaného genu.

R zné úrovň minimalizace bazální exprese

BL21(DE3)

✓ **BL21(DE3)pLysS/E**

BL21



Expressní kmen obsahující plazmidy pLysS nebo pLysE umožňuje regulaci expresního systému využívající T7 promotor. Tyto plazmidy kódují lysozym, který se váže na T7 RNA polymerasu a inaktivuje ji a minimalizuje tak bazální exprese.

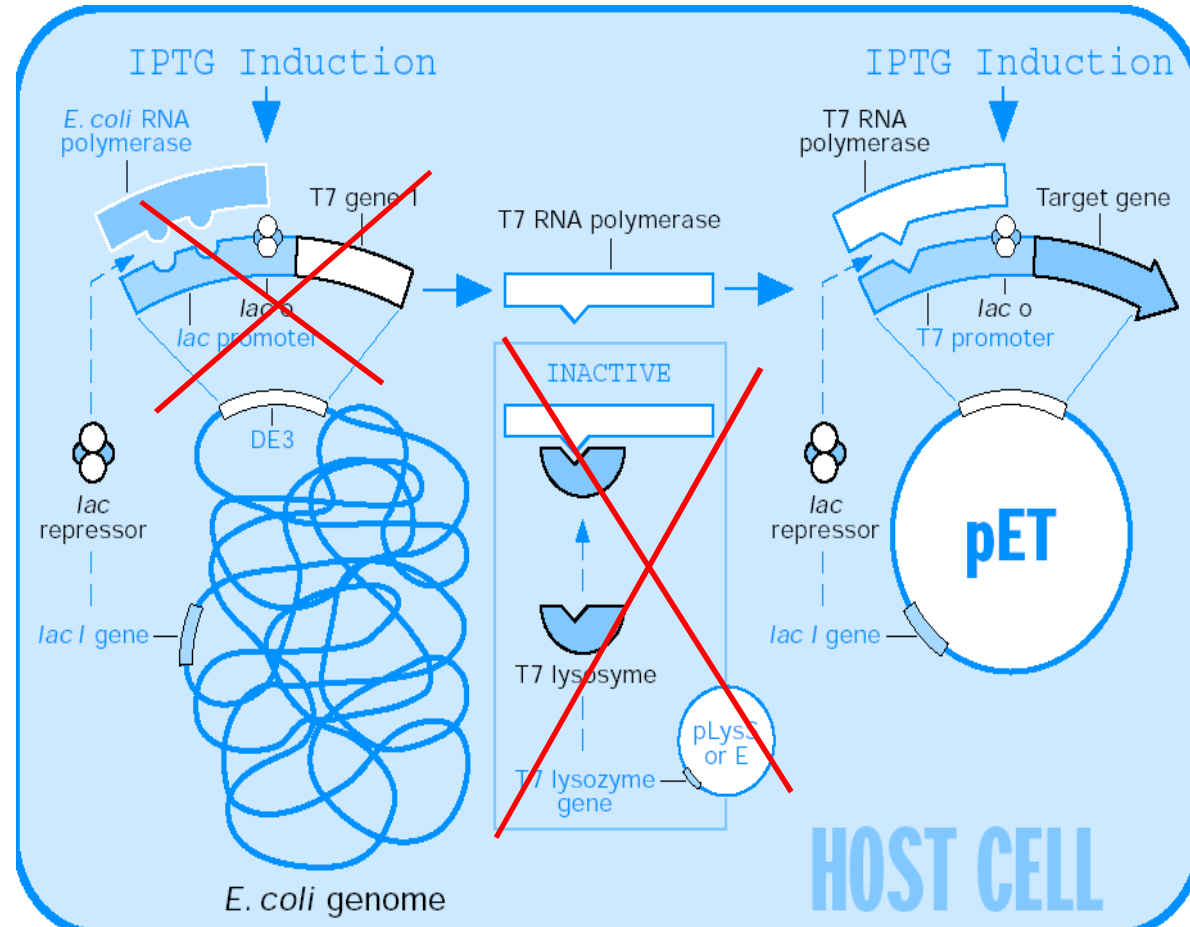
Cca 1-3% hladina bazální (před indukcí exprese) exprese klonovaného genu.

R zné úrovn minimalizace bazální exprese

BL21(DE3)

BL21(DE3)pLysS/E

✓ BL21



ÉIndukce exprese infekcí bakteriofágem CEG (gen pro T7 RNA polymerasu)

Nejvyšší úroveň represe!!

Využívání kodon *E.coli* (codon usage)

ÉGeny u prokaryot a eukaryot se vyznaují nenáhodným využíváním synonymních kodonů.

ÉKodony z ídka využívané u *E. Coli* se mohou hojně vyskytovat u heterologních genů pocházejících z eukaryot, archebakterií aj.

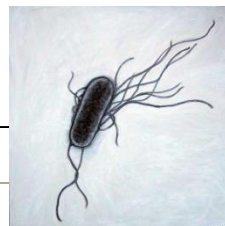
ÉFrekvence využití synonymních kodonů obvykle odráží zastoupení jejich tRNA v cytoplazmě.

Escherichia coli K12 [gbget]: 14 CDS's (5122 codons)

fields: [triplet] [frequency: per thousand] ([number])

UUU 19.7(101)	UCU 5.7(29)	UAU 16.8(86)	UGU 5.9(30)
UUC 15.0(77)	UCC 5.5(28)	UAC 14.6(75)	UGC 8.0(41)
UUA 15.2(78)	UCA 7.8(40)	UAA 1.8(9)	UGA 1.0(5)
UUG 11.9(61)	UCG 8.0(41)	UAG 0.0(0)	UGG 10.7(55)
CUU 11.9(61)	CCU 8.4(43)	CAU 15.8(81)	CGU 21.1(108)
CUC 10.5(54)	CCC 6.4(33)	CAC 13.1(67)	CGC 26.0(133)
CUA 5.3(27)	CCA 6.6(34)	CAA 12.1(62)	CGA 4.3(22)
CUG 46.9(240)	CCG 26.7(137)	CAG 27.7(142)	CGG 4.1(21)
AUU 30.5(156)	ACU 8.0(41)	AAU 21.9(112)	AGU 7.2(37)
AUC 18.2(93)	ACC 22.8(117)	AAC 24.4(125)	AGC 16.6(85)
AUA 3.7(19)	ACA 6.4(33)	AAA 33.2(170)	AGA 1.4(7)
AUG 24.8(127)	ACG 11.5(59)	AAG 12.1(62)	AGG 1.6(8)
GUU 16.8(86)	GCU 10.7(55)	GAU 37.9(194)	GGU 21.3(109)
GUC 11.7(60)	GCC 31.6(162)	GAC 20.5(105)	GGC 33.4(171)
GUA 11.5(59)	GCA 21.1(108)	GAA 43.7(224)	GGG 9.2(47)
GUG 26.4(135)	GCG 38.5(197)	GAG 18.4(94)	GCG 8.6(44)

Coding GC 52.35% 1st letter GC 60.82% 2nd letter GC 40.61% 3rd letter GC 55.62%



Arabidopsis thaliana [gbpln]: 80395 CDS's (31098475 codons)

fields: [triplet] [frequency: per thousand] ([number])

UUU 21.8(678320)	UCU 25.2(782818)	UAU 14.6(455089)	UGU 10.5(327640)
UUC 20.7(642407)	UCC 11.2(348173)	UAC 13.7(427132)	UGC 7.2(222769)
UUA 12.7(394867)	UCA 18.3(568570)	UAA 0.9(29405)	UGA 1.2(36260)
UUG 20.9(649150)	UCG 9.3(290158)	UAG 0.5(16417)	UGG 12.5(388049)
CUU 24.1(750114)	CCU 18.7(580962)	CAU 13.8(428694)	CGU 9.0(280392)
CUC 16.1(500524)	CCC 5.3(165252)	CAC 8.7(271155)	CGC 3.8(117543)
CUA 9.9(307000)	CCA 16.1(502101)	CAA 19.4(604800)	CGA 6.3(195736)
CUG 9.8(305822)	CCG 8.6(268115)	CAG 15.2(473809)	CGG 4.9(151572)
AUU 21.5(668227)	ACU 17.5(544807)	AAU 22.3(693344)	AGU 14.0(435738)
AUC 18.5(576287)	ACC 10.3(321640)	AAC 20.9(650826)	AGC 11.3(352568)
AUA 12.6(391867)	ACA 15.7(487161)	AAA 30.8(957374)	AGA 19.0(519788)
AUG 24.5(762852)	ACG 7.7(240652)	AAG 32.7(1016176)	AGG 11.0(340922)
GUU 27.2(847061)	GCU 28.3(880808)	GAU 36.6(1139637)	GGU 22.2(689891)
GUC 12.8(397008)	GCC 10.3(321500)	GAC 17.2(535668)	GGC 9.2(284681)
GUA 9.9(308605)	GCA 17.5(543180)	GAA 34.3(1068012)	GGG 24.2(751489)
GUG 17.4(539873)	GCG 9.0(280804)	GAG 32.2(1002594)	GGG 10.2(316620)

Coding GC 44.59% 1st letter GC 50.84% 2nd letter GC 40.54% 3rd letter GC 42.38%



Málo preferované kodony u *E.coli*

Codon(s)	Amino acid
AGA, AGG, CGA, CGG.....	Arg
UGU, UGC.....	Cys
GGA, GGG.....	Gly
AUA.....	Ile
CUA, CUC.....	Leu
CCC, CCU, CCA.....	Pro
UCA, AGU, UCG, UCC	Ser
ACA.....	Thr

Makrides, 1996

Exprese heterologní gen obsahujících málo preferované kodony vede k translaci ním chybách !

ÉP ed. asné ukončení translace (zkrácený produkt)

ÉPosunutí tecího rámce (posun až o 2 AK v místě kodonu AGA)

ÉZám na aminokyseliny - ažto arginin (kodon AGA) za lizin

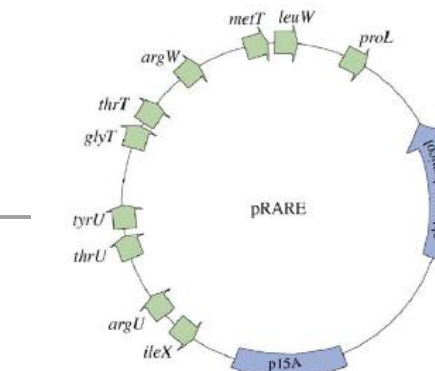
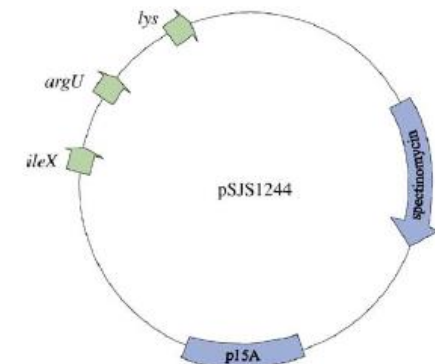
Výběr hostitelského kmene *E.coli*



Pro produkci genů obsahující velké množství kodonů, které jsou málo využívané *E.coli*, je možné použít komerčně dodávané kmeny, které produkují tRNA málo užívaných kodonů.

BL21 (DE3) CodonPlus-RIL	Expresses AAGG/AGA (arginine, R), AUA (isoleucine, I) and CUA (leucine, L)	firma Stratagene
BL21 (DE3) CodonPlus-RP	Expresses AAGG/AGA (arginine, R) and CCC (proline, P)	firma Stratagene
Rosetta or Rosetta (DE3)	Expresses AAGG/AGA (arginine, R), CGG (arginine, R), AUA (isoleucine, I), CUA (leucine, L), CCC (proline), and GGA (glycine, G)	firma Novagen

Plasmidy komplementující tRNA.



NEBO: Místní mutageneze - záměna na málo využívaného kodonu.

Optimalizace kodonů pro syntézu genů

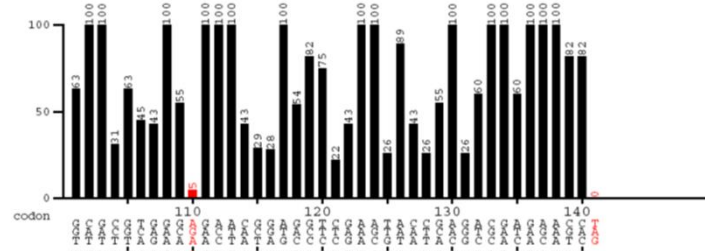
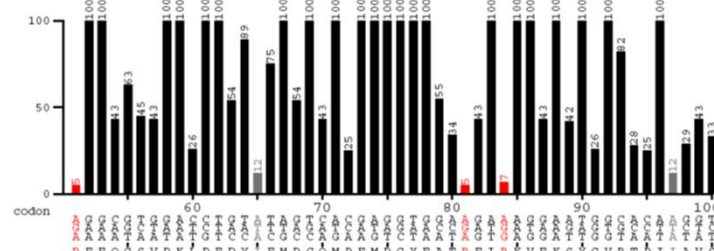
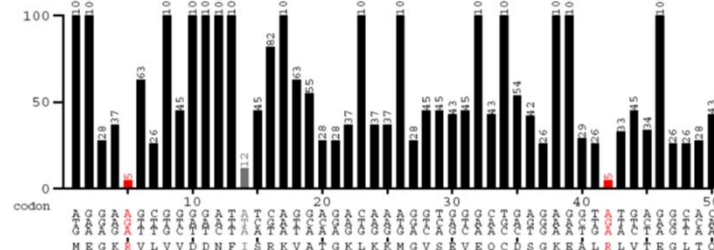
Optimální sloflení kodonů pro produkci v jednom i více organismech s ohledem na vznik sekundárních struktur a stabilitu mRNA.



CKIrd
sequence derived from *Arabidopsis_thaliana*

Codontable:
Escherichia_coli_K12

Ordinate (y-axis): relative adaptiveness <20% <10%



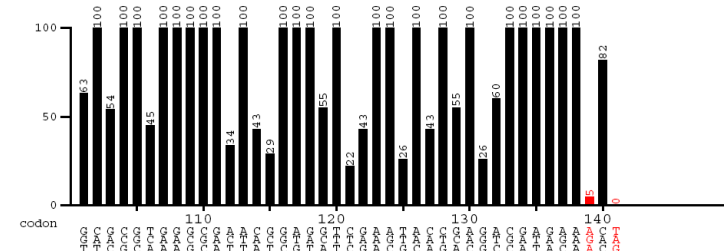
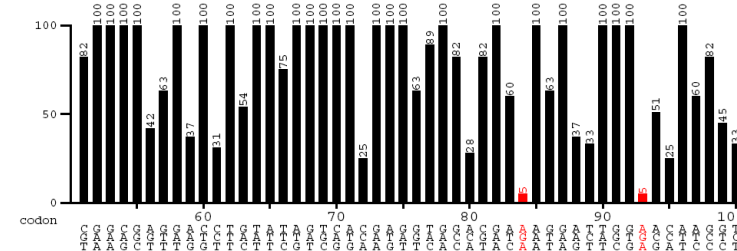
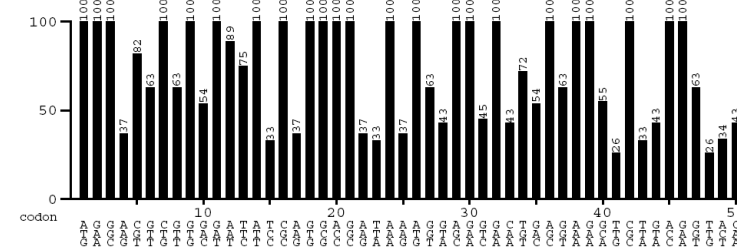
www.gcua.de
created: 18.08.2011



CKIrd optim codon us
sequence derived from *Arabidopsis_thaliana*

Codontable:
Escherichia_coli_K12

Ordinate (y-axis): relative adaptiveness <20% <10%



www.gcua.de
created: 24.08.2011

Degradace proteinu

Bakteriální proteolytický systém:

- *E. coli* obsahuje velké množství proteas, nejvíce v cytoplazm

- Selektivn odstra uje šabnormální proteiny:

ÉNekompletní polypeptidy

ÉProteiny se zam n nými AK

ÉNadm rn syntetizované podjednotky multimerních protein

ÉProteiny po-kozené oxidací nebo volnými radikály

ÉCizí, rekombinantní proteiny (problémem jsou proteiny < 10 kDa)

Aminokyseliny redukující stabilitu heterologního proteinu

1. N-koncové pravidlo

- É Stabilita proteinu je ovlivnena aminokyselinou, která následuje první aminokyselinu polypeptidového řetězce (methionin).
- É Aminokyseliny na této pozici redukují stabilitu proteinu:

Arg, Lys, Leu, Phe, Tyr a Trp

- É Položka rozpadu proteinu pouze 2 min

2. Lysin ve vnitřní sekvenci poblíž N-konce proteinu

- É Degradace ubiquitin-dependentními proteasami

3. PEST hypotéza

- É Oblasti bohaté na Pro (P), Glu (E), Ser (S), Thr (T)
- É Po fosforylací PEST degradace proteinu Ca-dependentními proteasami

Výb r hostitelského kmene *E.coli*



Kmeny deficientní na proteasy

ÉMutace, eliminující produkci proteas a tím proteolytickou degradaci rekombinantních protein .

Expresní kmeny **BL21** jsou deficientní na:

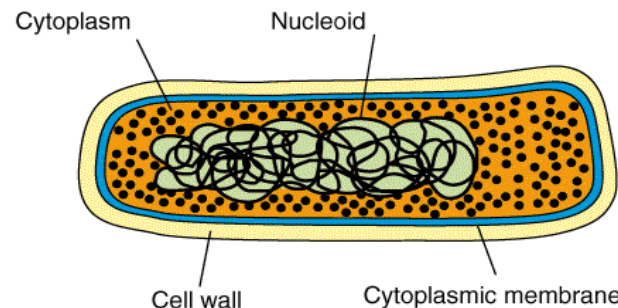
cytoplazmatickou proteasu *lon*
periplazmatickou proteasu *ompT*

Cílená exprese proteinu

Cytoplazmatická exprese

Periplazmatická exprese

Extracelulární exprese
(do kultiva ního média)



Cytoplazmatická exprese

É Preferovaný zp sob

Výhody

É Vysoký výt flek proteinu

É Jednodu—í plazmidové konstrukty

É Inkluzní t líska

Nevýhody

É Inkluzní t líska

É Redukní prost edí

É Proteolýza

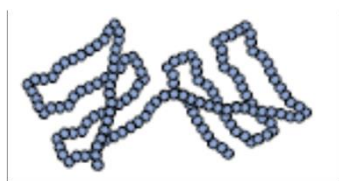
É Více komplexní purifikace

Inkluzní t líska

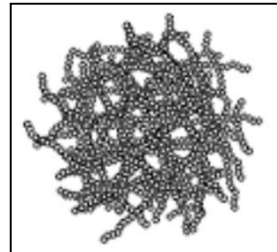
Nerozpustné shluky (cca $2\mu\text{m}^3$) sloflené z nativních protein s nízkou rozpustností, z nesloflených nebo z áste n poskládaných protein

Co zp sobuje jejich tvorbu?

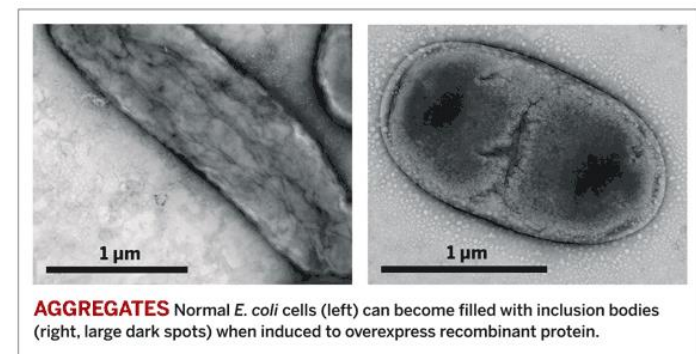
1. Prost edí v E.coli se li-í od p irozeného prost edí ve smyslu redoxního potenciálu (reduk ní prost edí v cytoplazm E.coli), pH, osmolarita, absence chaperon , kofaktor , absence post-transla ních modifikací
2. Vysoká hladina exprimovaných protein
- exponované hydrofóbní domény nesbalených polypeptidových et zc navzájem (intramolekulárн) asociují



Rozpustný protein



Inkluzní t líska ó nerozpustný protein



Inkluzní t líska

Výhody

É Snadná izolace ve vysoké istot a koncentraci

É Ochrana p ed proteasami

É Pro produkci protein , jejichfl aktivita je pro bu ku letální

Nevýhody

É Proteinová nerozpustnost

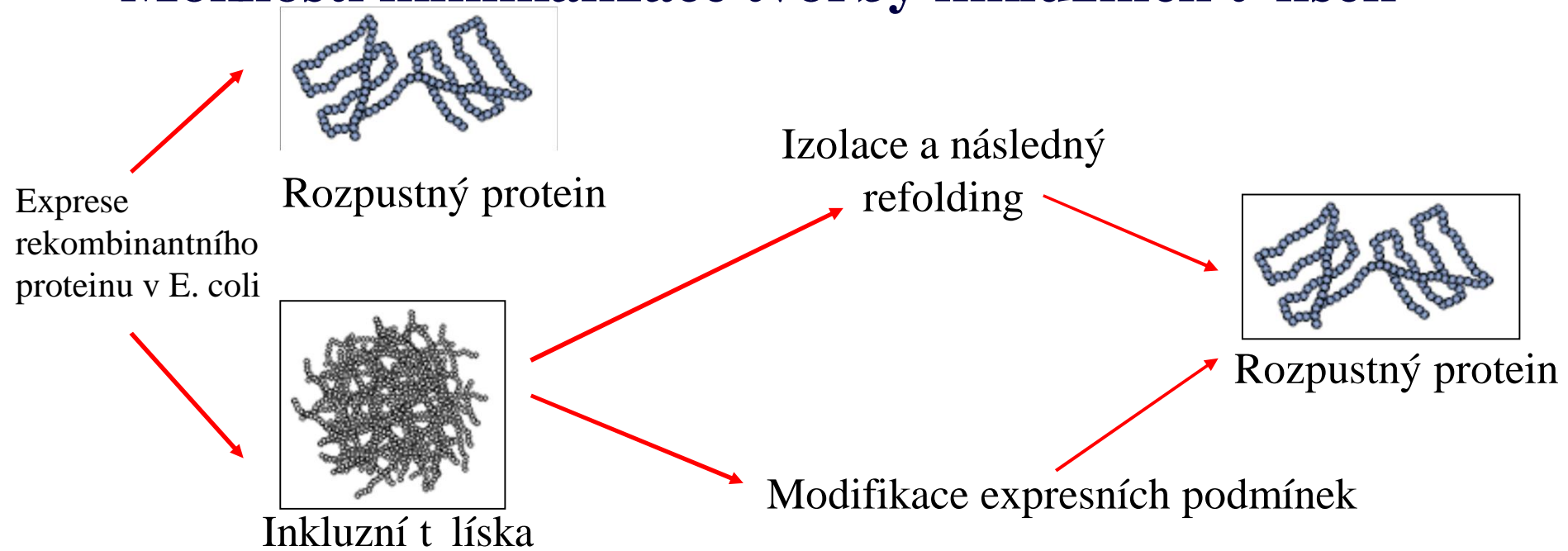
É Refolding pro op tné získání biologické aktivity

É Refolding nemusí vést k zaktivování proteinu

É Redukce výt flku proteinu

É Zvy ují se náklady

Mofnosti minimalizace tvorby inkluzních t lísek



Nap íklad:

ÉSníflení teploty kultivace bakteriální kultury

ÉKoprodukce chaperon

ÉPouflití fúzního partnera zlep-ujícího solubilizaci (thioredoxin)

ÉSelekce hostitele - nap . bakteriální kmene deficientní na thioredoxin reduktasu

Moflnosti minimalizace tvorby inkluzních t lísek

Výb r hostitelského kmene *E.coli*



É Pokud protein obsahuje jeden nebo více disulfidických vazeb, správné poskládání proteinu je stimulováno v hostiteli s více oxidujícím prost edí cytoplazmy.

ÉAD494	ÉMutace v genu pro thioredoxinreduktasu (trxR)	ÉNovagen
ÉOrigami	ÉDvojitá mutace v genu pro thioredoxin reduktasu (trxR) and glutathionreduktasu (gor)	ÉNovagen

Periplazmatická exprese

É Periplazma obsahuje jen 4% v-ech bun ných protein (cca 100 protein)

É Transmembránový transport je zprost edkován signálním peptidem na N-konci proteinu

É Prokaryotické signální peptidy úsp -n pouflité v *E.coli* (ompA, ompT z *E.coli*, protein A z *S. Aureus*, endoglukanasa z *B.subtilis*)

Výhody

É Jednodu í purifikace

É Není zde tak rozsáhlá proteolýza

É Zlep-ení tvorby disulfidických m stek /foldingu

Nevýhody

É Signální peptid nezajistí vfldy transport do periplazmy

É Mohou se také tvo it inkluzní t líska

Extracelulární exprese

ÉSekrece protein do kultiva ního média

ÉChybí ú inná cesta pro transport skrz vn jí membránu (*E.coli* sekretuje velmi málo protein).

ÉN které proteiny sekretované do periplazmy pasivn difundují do média.

ÉZatím spí-e neúsp -ná manipulace s r znými transportními cestami, které by usnad ovaly sekreci cizího proteinu.

Výhody

ÉMinimální kontaminace ostatními proteiny (jednodu-í purifikace)

ÉNejmen-í hladina proteolýzy

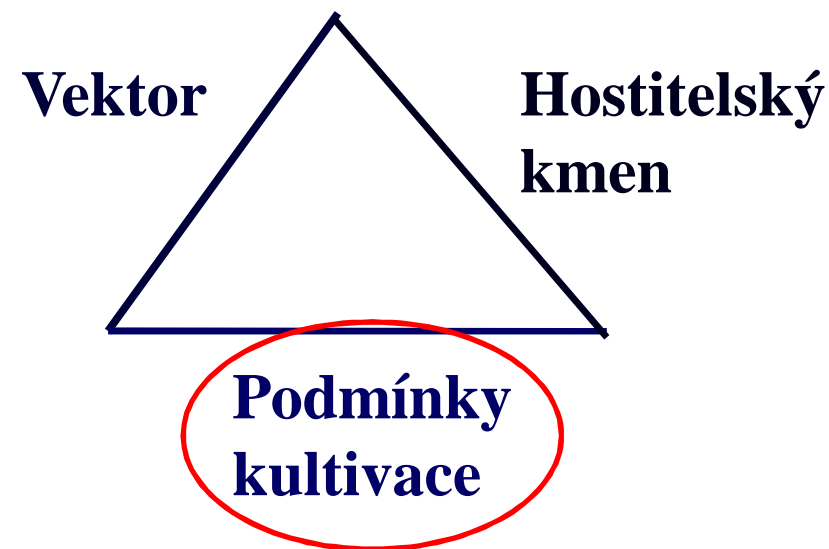
ÉZlep-ení foldingu

Nevýhody

É asto nízká sekrece

É Hodn z ed ný protein

Modifikace r stových podmínek



Podmínky kultivace

Mofnosti zvýšení produkce rozpustného proteinu:

Experimentálně se testuje:

É Vysoká hustota buněk kultury

É Sloflení média (pH, přídavek specifických substrátů, kofaktorů, sloflení flavin-bohaté i minimální média)

É Optimalizace teploty růstu bakterií a teploty na indukci exprese

É Koncentrace indukčního inidla na indukci, délka indukce exprese

Podmínky kultivace - slofkení média

Vliv různých podmínek exprese na aktivitu mutantní formy kuku i ně β -glukosidasy F461L.

ÉpH média

ÉP účinnost substrátu
(celobiosa)

<i>podmínky</i>	<i>Specifická aktivita (nkat/mg)</i>
kontrola	1,9
LB médium pH 6	2,0
LB médium pH 7	4,2
LB médium pH 8	2,8
1% celobiosa (na indukci exprese)	2,7

Specifická aktivita byla po expresi za uvedených podmínek měna v nativních lyzátech použitím substrátu PNPG.

Exprese AHP protein v *E. coli* ó optimalizace teploty r stu bakteríí a teploty na indukci exprese

Podmínky:

1. Médium: LB médium, bakteriální kmen BL21(DE3)pLysS

R st (*OD*600~0.5-0.6) Indukce 0,4 mM IPTG/3 hodiny

22°C

22°C (3)

1 2

3

37°C

22°C (2)

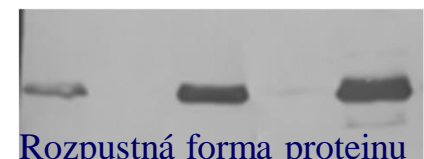
37°C

28°C (1)

Test rozpustnosti:

2. P íprava proteinových lyzát za siln denatura ních podmínek (celková produkce proteinu= rozpustná+nerozpustná forma) a za nativních podmínek (rozpustná forma proteinu).

3. SDS PAGE denatura ních a nativních proteinových lyzát s následnou analýzou western blotingem.

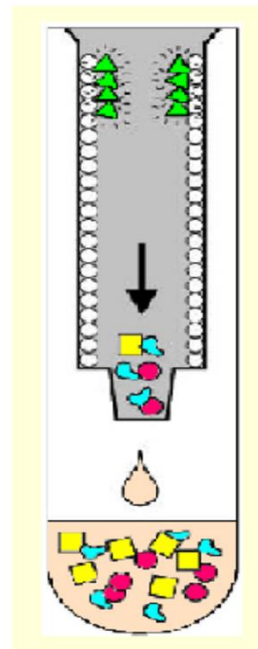


4. Detekce proteinu pomocí série protilátek a kvantifikace signál pomocí programu pro analýzu 1-D gel (p. Quantity One- BioRad, Quanti Scan-p ístupný na internetu).

Exprese AHP protein v *E. coli* -optimalizace teploty rstu bakterií a indukce exprese

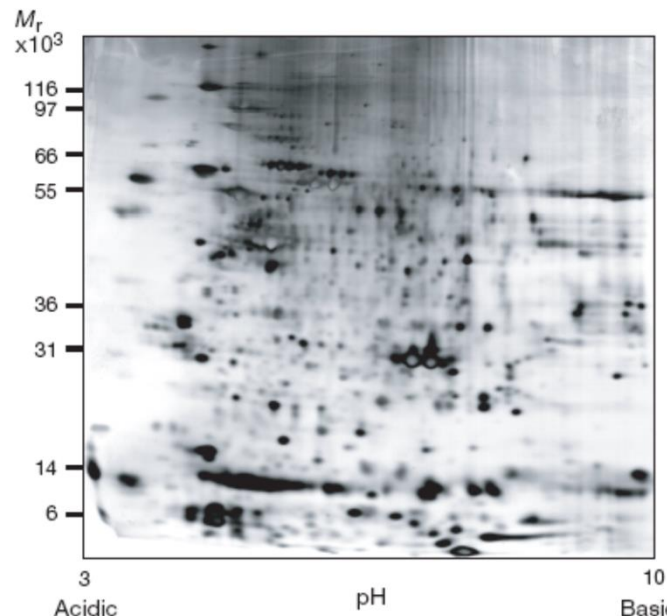
Procenta produkce AHP protein v rozpustné formě						
<i>t</i> (°C) <i>R st/indukce</i>	AHP1	AHP2	AHP3	AHP4	AHP5	AHP6
37°C/28°C	8 %	85 %	100%	0	76 %	0
37°C/22°C	82 %	73 %	100%	0	81 %	51 %
22°C/22°C	71 %	78 %	100%	30 %	81 %	73 %

2. ást: Purifikace rekombinantních protein



Purifikace protein fúzovaných s GFP pomocí hydrofóbní matrice

Purifikace proteinu z komplexní směsi makromolekul původních v biologickém vzorku (buněčný nebo tkáňový extrakt)



Analýza buněčného extraktu 2D elektroforézou

ÉN kolik tisíc proteinů má známými vlastnostmi (~5000-8000) a v různých množstvích (aktin ~ 10%, unikátní transkriptní faktor < 0,001% z celkového proteinu)

ÉDNA, RNA, polysacharidy, lipidy

Neflza nemeí í í í í í í í

- | | |
|-------------------|-------------------------------------|
| <i>1. Pro ???</i> | Pro jaký účel ? |
| <i>2. Jak???</i> | Jak protein detektovat? |
| <i>3. Co???</i> | Jaké vlastnosti má protein ? |

1. Pro ???

Pro jaký účel?

Aplikace	Množství	Istota	Poznámka
Identifikace	0,002-0,2 µg	vysoká (>95%)	É Edmanovo odbourávání (5-10 pmol), přístupy hmotnostní spektroskopie (0,2-1 pmol)
Produkce protilátek	µg-mg	střední-vysoká	É Pro imunizaci: ~ 0,1 µg proteinu Éím v této istotě tím v této a rychleji -ance pro zisk vysoce specifické imunitní odpovědi.
Enzymologie	1-5 mg	vysoká > 95 %	É Množství proteinu závisí na citlivosti analýzy. É Istota závisí na specifitě analýzy a ovlivnění výsledků analýzy kontaminacemi.
Biofyzikální studie	mg-g	vysoká (>95%)	É CD spektroskopie, rezonance povrchových plasmonů, fluorimetrie, analytická ultracentrifugace, UV spektroskopie
3D struktura (krystalizace, NMR)	10-20 mg	vysoká (>95%)	É Hledání krystalizačních podmínek ~ 1-2 mg proteinu, zisk krystalu o velikosti dostatečné pro rentgenovou difraci 5-10 mg proteinu É Pro první 1-D NMR spektra se vyplňuje ~ 0,5 µmol proteinu, protein (velikost 5-20 kDa) zná ený ¹⁵ N / ¹³ C je nutný pro výzkum struktury.
Farmaceutické účely	mg-kg	vysoká (99,9%)	É Pro klinické účely nesmí proteiny obsahovat pyrogeny a bakteriální toxiny a musí být velmi stabilní kvůli dlouhodobému skladování.

2. Jak???

Jak budeme protein analyzovat?

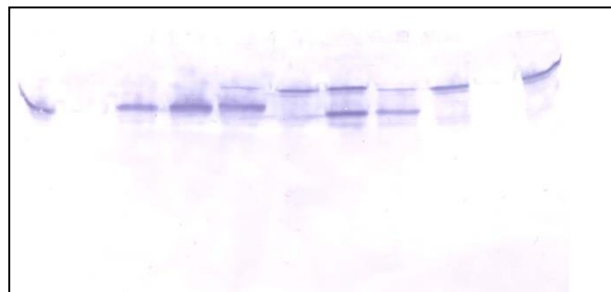
1. Polyakrylamidová gelová elektroforéza se specifickou detekcí :

Detekce proteinu zájmu b hem jeho purifikace

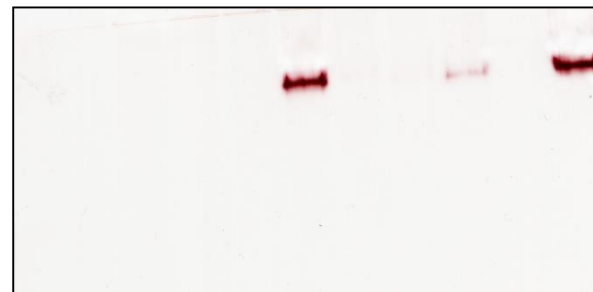
ÉPomocí protilátek

Sledování biologické aktivity proteinu b hem purifikace

ÉU enzym nap. barvení v gelu pomocí chromogenních substrát (nebo stanovení specifických konstant v komplexních vzorcích)



SDS PAGE s následných
westernovým p enosem



nativní PAGE, zymogram

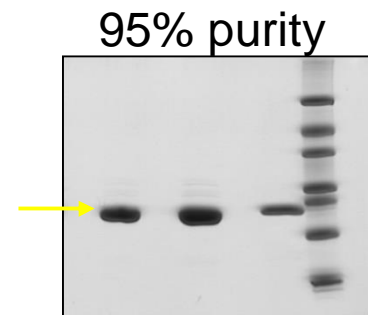
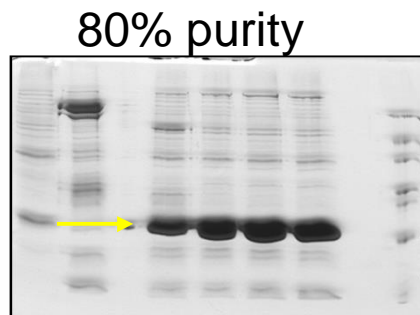
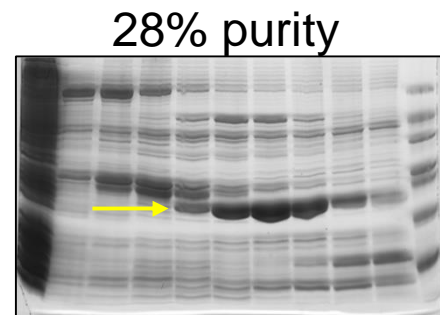
2. Jak???

Jak budeme protein analyzovat?

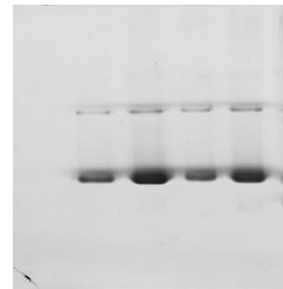
2. Polyakrylamidová gelová elektroforéza s nespecifickou detekcí

Sledování istoty a homogenity purifikovaného proteinu

Barvení pomocí Coommasicie blue, st íbra,...



Nativní PAGE



- Dimer
- Monomer

Co???

Jaké vlastnosti má protein ?

Informace o proteinu zájmu a p íbuzných proteinech z databází nebo z pilotních experiment :

ÉVelikost proteinu (SDS PAGE, gelová filtrace nebo analytická centrifugace)

ÉIzoelektrický bod (izoelektrická fokusace)

ÉStabilita (pH, teplota, p ítomnost solí, proteas, additiv zaji– ujících rozpustnost proteinu)

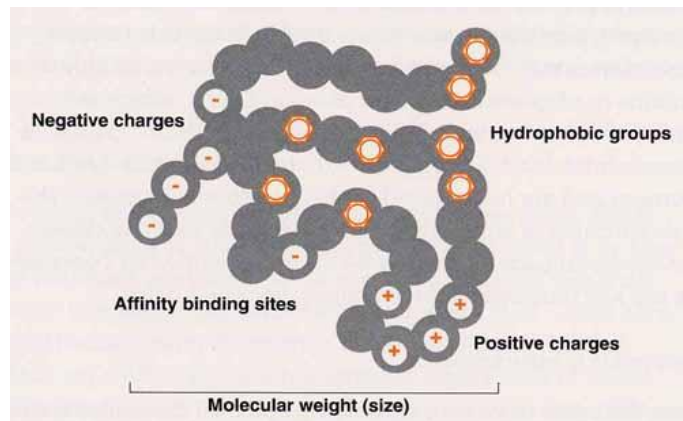
2D a nativní PAGE

ÉKomplexita vzorku, vlastnosti proteinu zájmu a i ostatních kontaminujících protein

Informace o proteinu zájmu a o p íbuzných proteinech z literatury:

ÉStrategie purifikace (metody, pufry, stabilita proteinu, í ..)

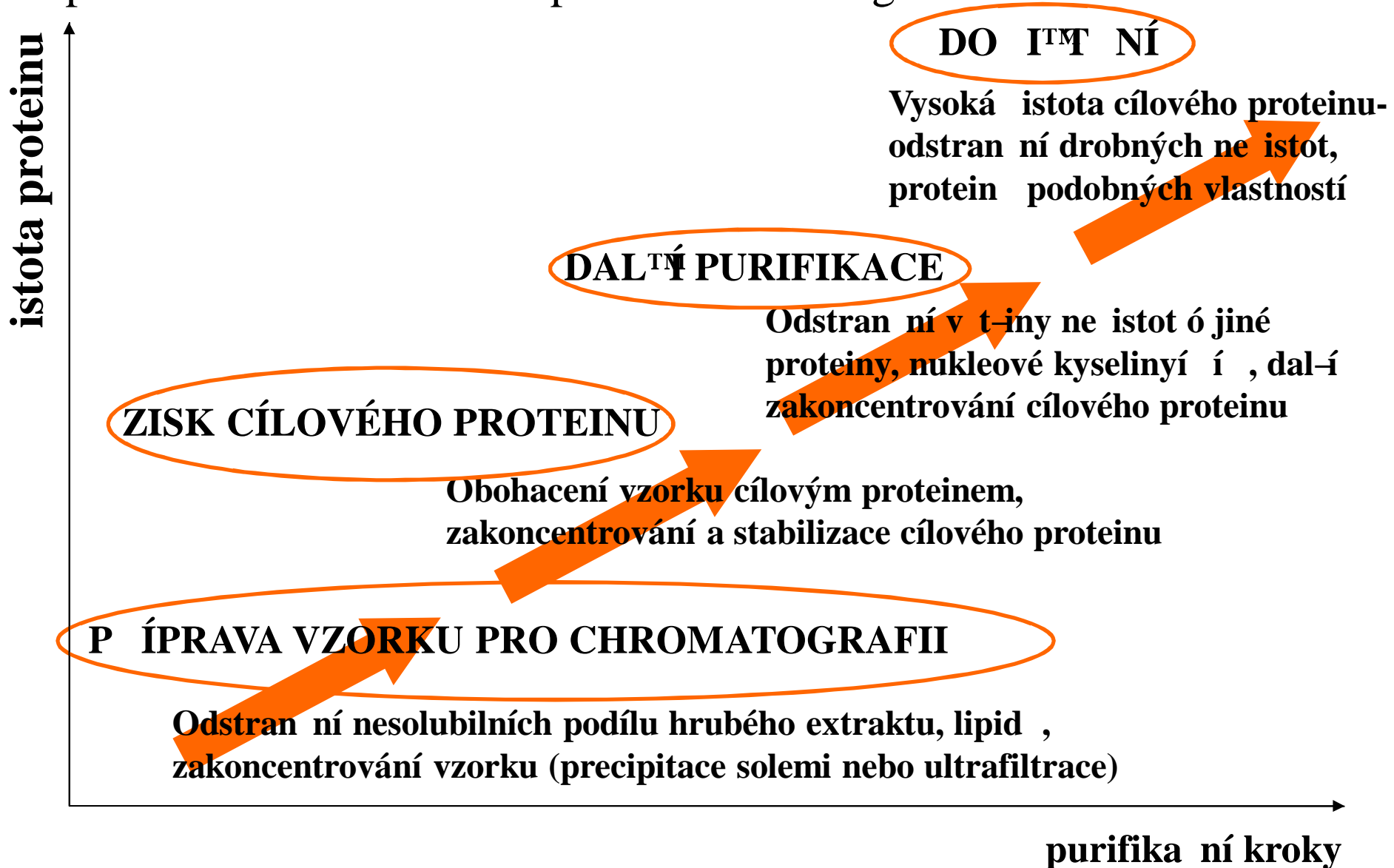
Vlastnosti/purifika ní metody



Rozpustnost	precipitace nap. síranem amonným, nízké/vysoké pH
Stabilita	teplotní precipitace
Velikost	gelová filtrace (gelová permea ní chromatografie)
pI (povrchový náboj)	iontov vým nná chromatografie
Hydrofobicia	reverzn fázová a hydrofóbní chromatografie
Specifická vazba	afinitní chromatografie
Posttransla ní modifikace	afinitní chromatografie

Kolik purifika ník krok je pot eba?

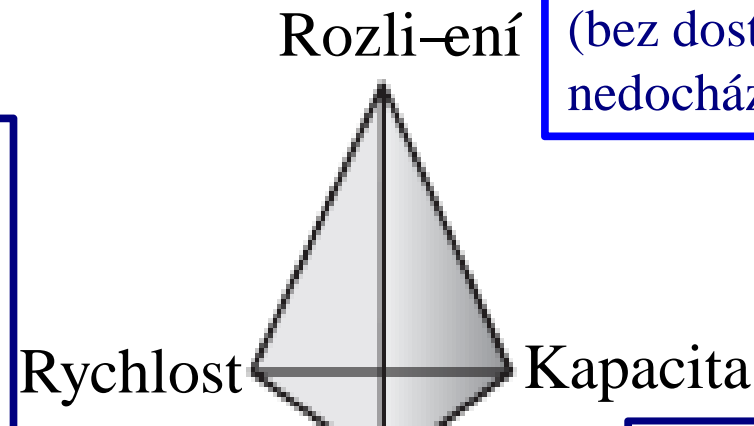
P íprava vzorku a t í fázová purifika ní strategie



Logická kombinace purifikacích kroků

Každá separační technika je vyznámej rovnováhou mezi tyto parametry.

Rychlosť kroku je dôležitá zejména kvůli možné degradaci cílového proteinu podobením proteas v komplexním vzorku.



Výtělek-minimalizace ztráty proteinu během purifikace.

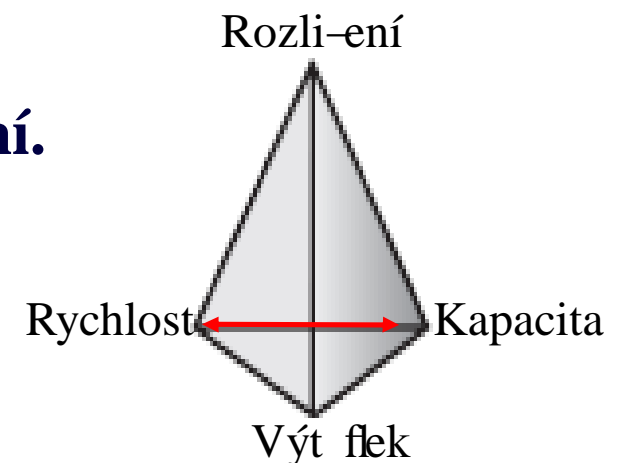
Rozlišení je rozsah separace mezi dvěma chromatografickými páky (bez dostatečného rozlišení nedochází k separaci proteinů).

Kapacita (max.) je maximální množství vzorku, které může být navázáno na chromatografickou kolonu.

Zisk cílového proteinu z proteinového extraktu

Cíl: rychlá izolace, stabilizace a zakoncentrování.

Purifika ní techniky: afinitní chromatografie
iontom ni ová chromatografie
hydrofóbní chromatografie



Column: rProtein A Sepharose Fast Flow, XK16/20, bed height 4.8 cm (9.6 ml)
Sample: 600 ml clarified cell culture containing 87.6 mg of IgG_{2a}
Starting buffer: 20 mM sodium phosphate, pH 7.0
Elution buffer: 20 mM sodium citrate, pH 4.0
Flow rate: 5 ml/min (150 cm/h)

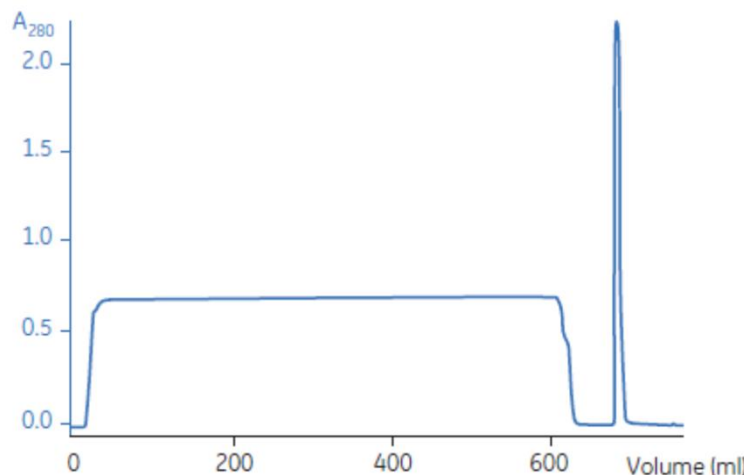
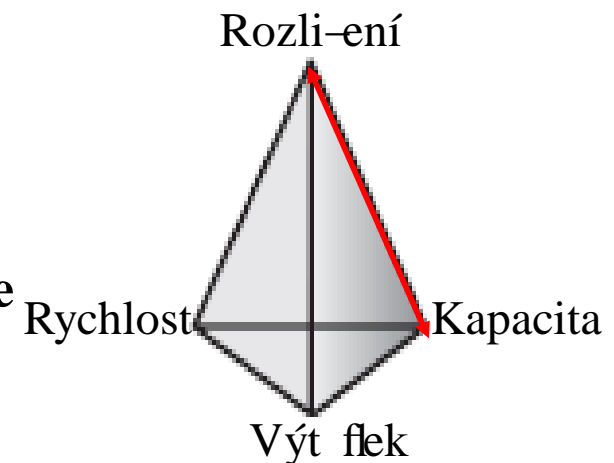


Fig 4.5. Example of capture step: Purification of IgG_{2a} from clarified cell culture.

Další purifikace proteinu

Cíl: Purifikace a zakoncentrování.

Purifika ní techniky: ionom ni ová chromatografie
hydrofóbní chromatografie
gelová filtrace
afinitní purifikace



Column:	XK 16/20 Butyl Sepharose 4 Fast Flow
Sample:	5 ml of partially purified Annexin V expressed in <i>E. coli</i>
Buffer A:	20 mM Sodium phosphate, pH 7.0, 1 M $(\text{NH}_4)_2\text{SO}_4$
Buffer B:	20 mM Sodium phosphate, pH 7.0
Flow rate:	100 cm/h
Gradient:	0 to 50% B, 20 column volumes

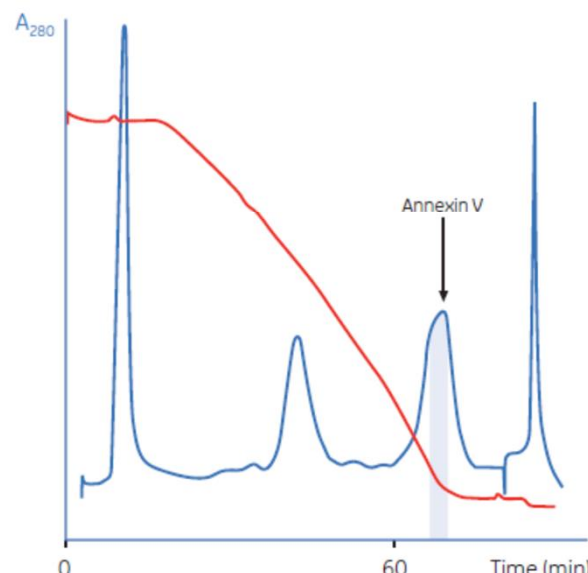
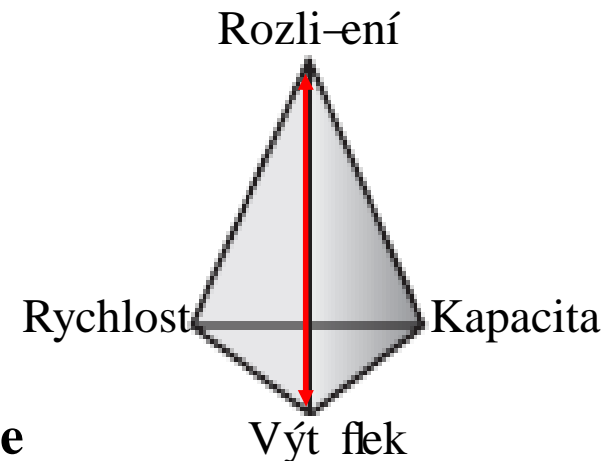


Fig 4.7. Example of an intermediate purification step: Purification of recombinant Annexin V by HIC.

Do i-t ní proteinu a úprava podmínek pro jeho skladování (pH, soli, additiva)

Cíl: Produkt o počítané vysoké istoty.

Purifika-ní techniky: gelová filtrace
reverzní fázová chromatografie
afinitní purifikace



Column: XK 16/60 packed with Superdex 75 prep grade
Sample: 1.0 ml of partially purified ZZ-brain IGF
Buffer: 300 mM ammonium acetate, pH 6.0
Flow rate: 0.5 ml/min (15 cm/h)

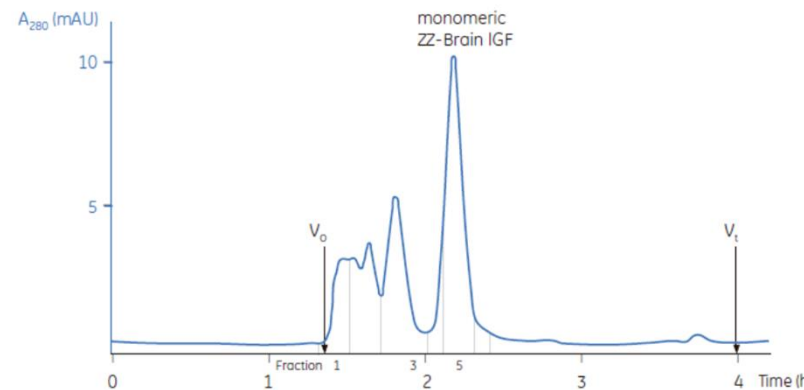


Fig 4.9. Example of polishing step: removal of dimers and multimers by GF.

Column: Mono S™ 5/50 GL
Sample: 14.5 ml of partially purified and desalting transposase TniA
Binding buffer: 20 mM MES pH 6.5, 1 mM EDTA, 2 mM MgCl₂, 1 mM DTT
Elution buffer: 20 mM MES pH 6.5, 1 mM EDTA, 2 mM MgCl₂, 1 mM DTT, 1 M NaCl
Flow rate: 1 ml/min
Gradient: 0%-100% elution buffer, 20 CV

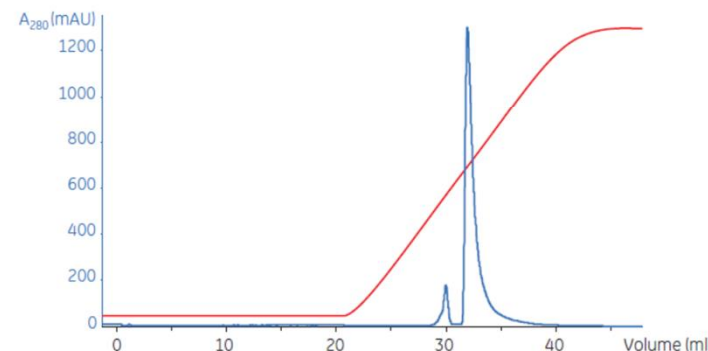


Fig 4.10. Example of polishing: removal of trace contaminants by high-resolution CIEC. Purification of the transposase TniA.

Základní zásady pro počítání purifikacích krok

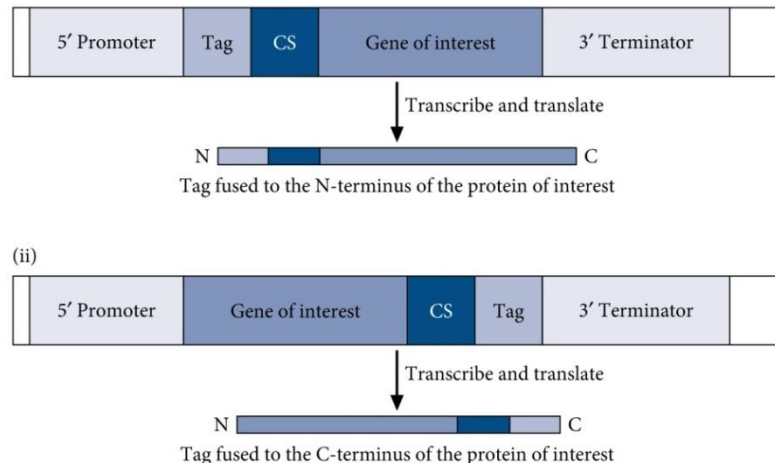
- É Na začátek začít metody s vysokou kapacitou a malým výtlakem a rozlišením → velké množství levného vstupního materiálu.
- É Později metody s vysokým rozlišením a výtlakem, kapacita méně významná → ve vzorku je investovaná práce, množství proteinu je menší.
- É Pokud možno začít metody za sebou racionálně, bez nutnosti mezikroků, jako je výměna pufru mezi jednotlivými separačními technikami

například: po precipitaci síranem amonným nebo ionom natriové chromatografii (protein je eluován z kolony za vysokých koncentracích soli) začít hydrofobní chromatografii (vzorek dávkován na kolonu ve vysoké koncentraci soli)
- É Jednotlivé separační metody pokud možno neopakovat.
- É Tím méně kroků, tím větší výtlakost proteinu.

Fúzní proteiny

Translační fúze sekvencí kódujících rekombinantní protein a tag (kotvu).

- Tag : a) krátký peptid [p . (His)_n, (Asp)_n, (Arg)_n ...]
b) pirozený oligopeptid [p . MBP, GST, thioredoxin ...]



Éusnadná purifikace (uniformita purifikace) rekombinantního proteinu

Ézvýšení výtěžku

Ézlepšení rozpustnosti

Éumocná detekce

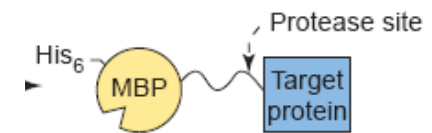
Éumocná sekrece

ÉFúzního partnera lze obvykle selektivně odstranit.

Fúzní partner	Velikost	Umíst. ní	Využití
His-tag	6, 8, or 10 aa	N-, C-, internal	purifikace
thioredoxin	109 aa (11.7 kDa)	N-,C-	purifikace, zvýšení solubility proteinu
His-patch thioredoxin	109 aa (11.7 kDa)	N-,C-	purifikace, zvýšení solubility proteinu
chloramfenikol acetyltransferasa	24 kDa	N-	sekrece, purifikace, detekce
avidin/streptavidin <i>Strep</i>-tag			purifikace, sekrece
glutathion-S-transferasa-GST	26 kDa	N-	purifikace
maltosu vázající protein (MBP)	40 kDa	N-, C-	purifikace, sekrece
zelen fluoreskující protein (GFP)	220 aa	N-, C-	detekce, purifikace
polyasparagová kyselina	5-16 aa	C-	purifikace
ompT /ompA	22 aa /21 aa	N-	sekrece

Odstranení fúzní kotvy (tagu) ó proteolytické -t pení

Jakákoli v kotva mělo vadit při funkci níž a strukturních studiích rekombinantního proteinu.



pRSET B Multiple Cloning Site

T7 promoter

21 AATACGACTC ACTATAGGG AACCACAAAG GTTTCCCTCT AGAAAATAATT TTGTTTAACT TTAAGAAGGA

Polyhistidine (6xHis) region

91 GATATACAT ATG CGG GGT TCT CAT CAT CAT CAT CAT GGT ATG GCT AGC ATG ACT
Met Arg Gly Ser His His His His His His Gly Met Ala Ser Met Thr

T7 gene 10 leader

148 GGT GGA CAG CAA ATG GGT CGG GAT CTG TAC GAC GAT GAC GAT AAG GAT QCG AGC TCG
Gly Gly Gln Gln Met Gly Arg Asp Leu Tyr Asp Asp Asp Asp Lys Asp Pro Ser Ser

BamH I Xba I Sac I

EK recognition site EK cleavage site

Bgl II Pst I Pvu II Kpn I Nco I EcoRI BstBI Hind III

205 AGA TCT GCA GCT GGT ACC ATG GAA TTC GAA GCT TGA TCCGGCTGCT AACAAAGCCC
Arg Ser Ala Ala Gly Thr Met Glu Phe Glu Ala ***

T7 reverse priming site

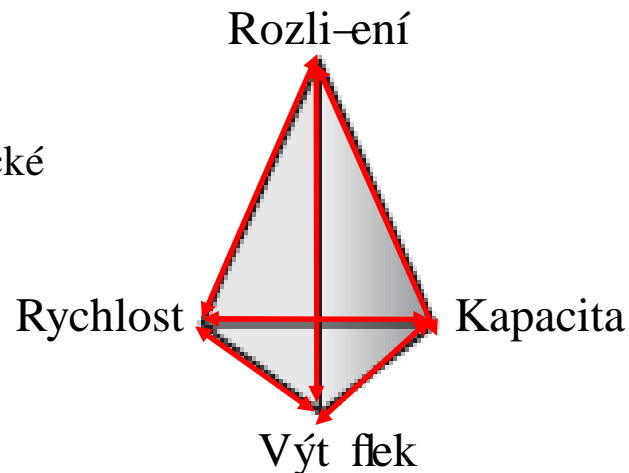
261 GAAAGGAAGC TGAGTTGGCT GCTGCCACCG CTGAGCAATA ACTAGCATAA

Enzyme	Cleavage site
Enterokinase	DDDDK*
Factor Xa	IDGR*
Thrombin	LVPR*GS
PreScission	LEVLFQ*GP
TEV protease	EQLYFQ*G
3C protease	ETLFQ*GP
Sortase A	LPET*G
Granzyme B	D*X, N*X, M*N, S*X

Fúzní kotvy (tagy) využívané k purifikaci

Kotva (tag)	Typ chromatografie	Princip separa ní techniky
poly [His]	afinitní	vazba na kov
IgG vazná doména	afinitní	vazba na protilátku
Poly [Asp]	iontomicová	vazba na anion vázající matrici
Poly [Phe]	hydrofóbní	vazba na hydrofóbní matrici
<i>Strep</i> -tag	afinitní	vazba na streptavidin
Poly [Arg]	iontomicová	vazba na kation vázající matrici

Separativní techniky charakteristické rovnováhou vech parametrů.



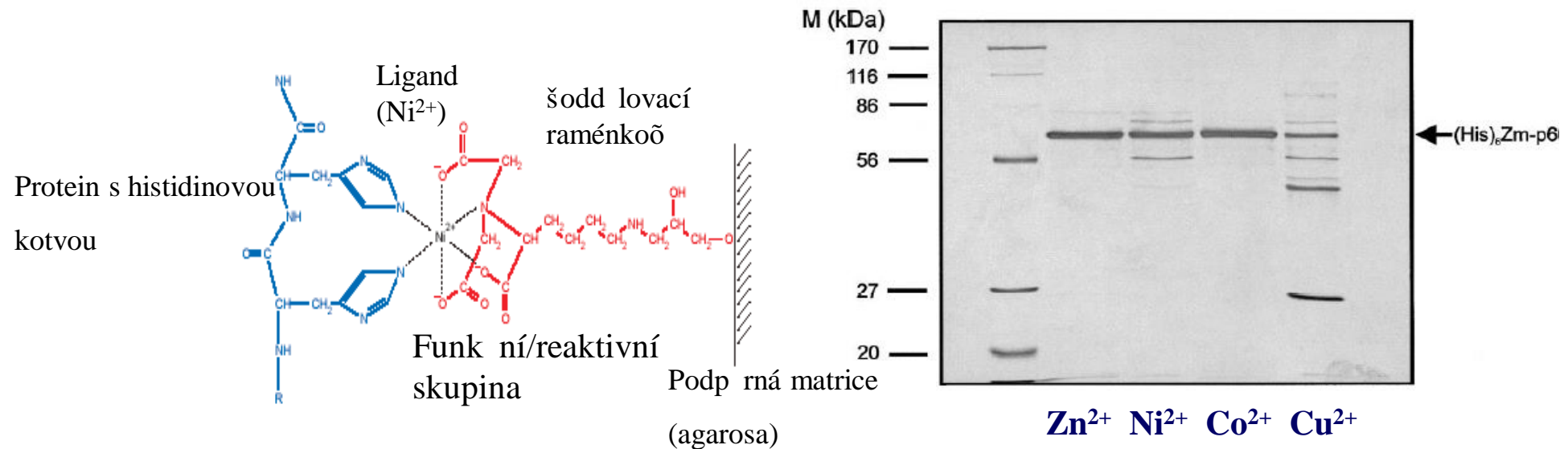
Metalochelataní afinitní chromatografie

ÉR.1975- uvejnil Porath a kol. metodu frakcionace sérových protein

ÉKonstrukce umělých oligohistidinových domén fúzovaných k N- nebo C- konci proteinu metodami mol. biologie

ÉNyní jeden ze základních purifikacích postupů rekombinanterních protein

ÉInterakce proteinu s matricí je zprostředkována neobsazenými d-orbitaly iontů mnoha kovů, které vádou volné elektronové páry pro evakuaci z dusíkového atomu imidazolových skupin histidinových zbytků v proteinu.



Síla vazby: Cu²⁺ > Ni²⁺ > Zn²⁺ ~ Co²⁺

Metalochelata ní afinitní chromatografie

Purifikace za nativních podmínek

Obecn lze navrhnut:

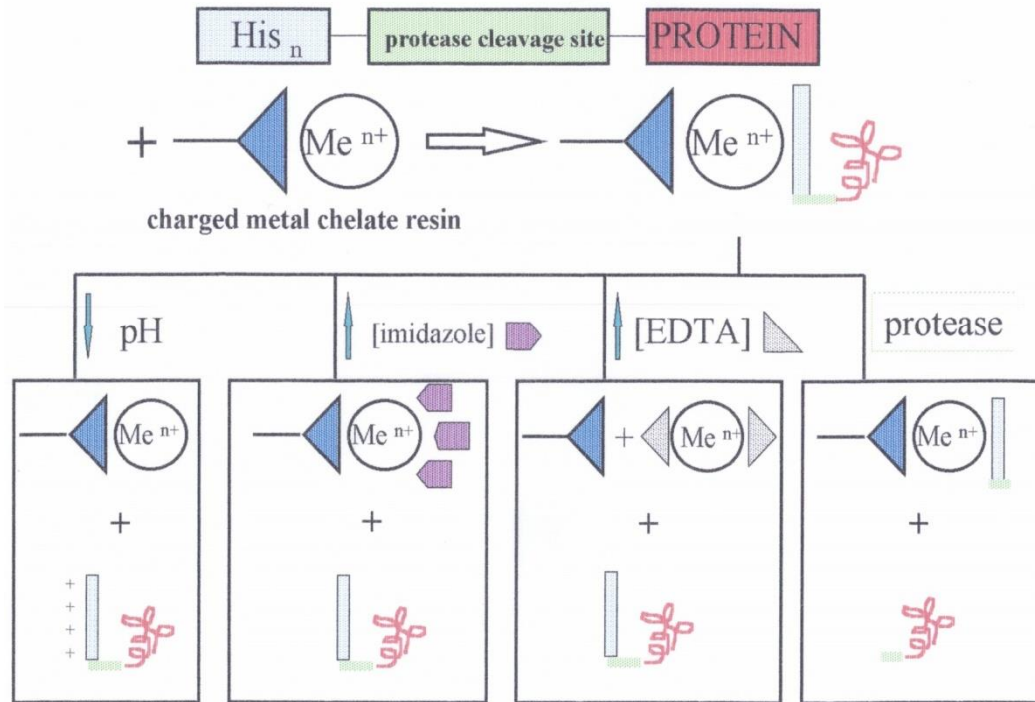
Pufry o pH 7-8 pro vazbu rek. proteinu s kovovým iontem.

Pufry s vysokou koncentrací solí (nap . 0,5-1 mol/l NaCl).

Nízká koncentrace imidazolu nebo sníflení pH pro odstran ní balastních protein .

Eluce použitím gradientu imidazolu (0-1 mol/l),
výrazným sníflením pH nebo
využitím EDTA.

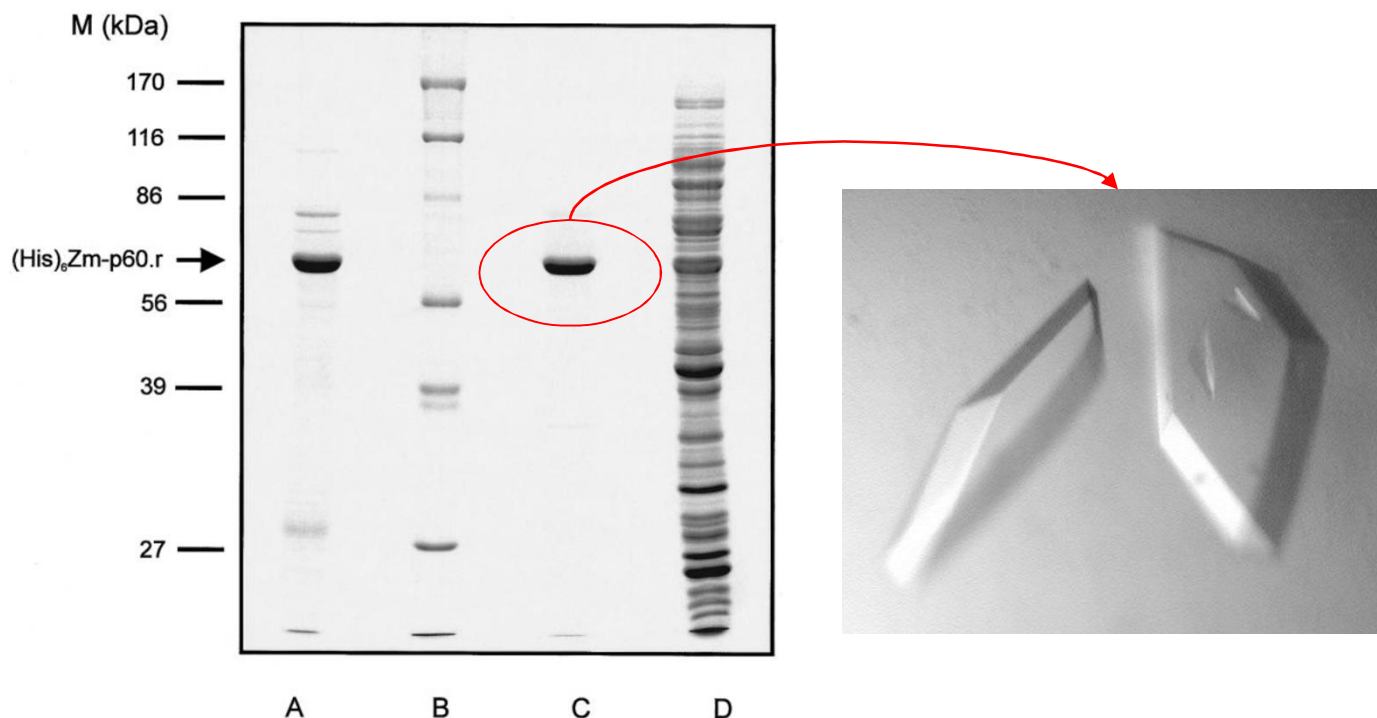
Immobilized metal affinity chromatography



His-tagged protein and IMAC under native conditions

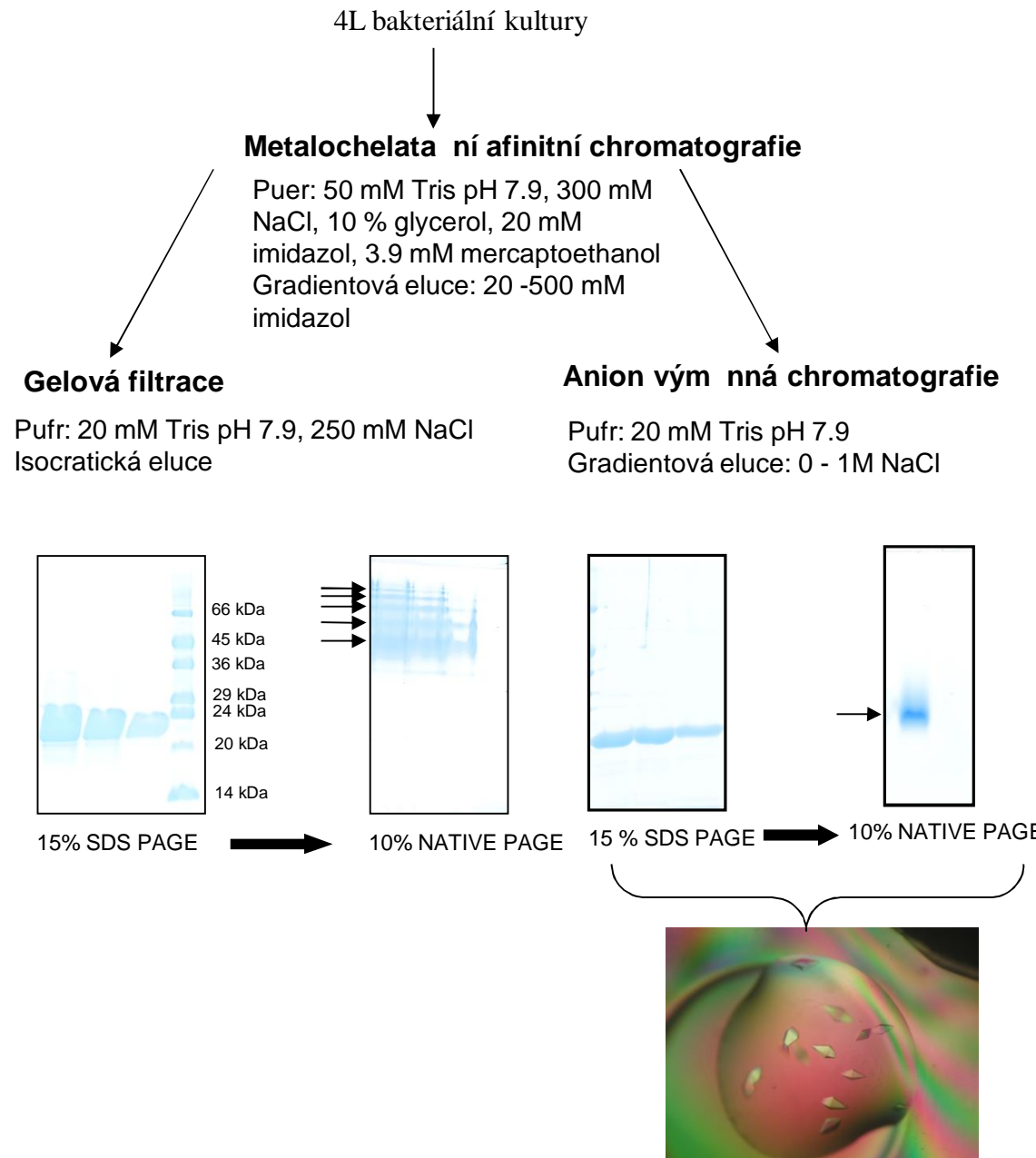
One-step purification of maize β -glucosidase

- Perfusion matrix: POROS MC/M
- Functional group: iminodiacetate, metal ion Zn^{2+}
- Removing contaminated proteins: linear gradient of imidazole (0–50 mM) and pH (pH 7–6.1)
- Protein elution: 0.1 M EDTA
- 80% recovery, 95 fold purification
- Common production and isolation of wild type protein and soluble mutant form for enzymatic measurements and crystallization.



(Zouhar et al., 1999)

Purifikace proteinu AHP2 (*Arabidopsis histidin phosphotransfer protein 2*)



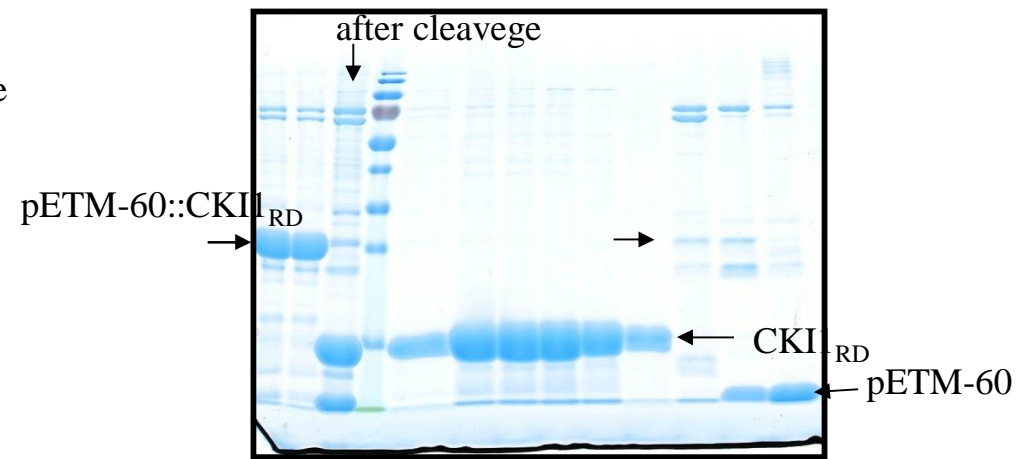
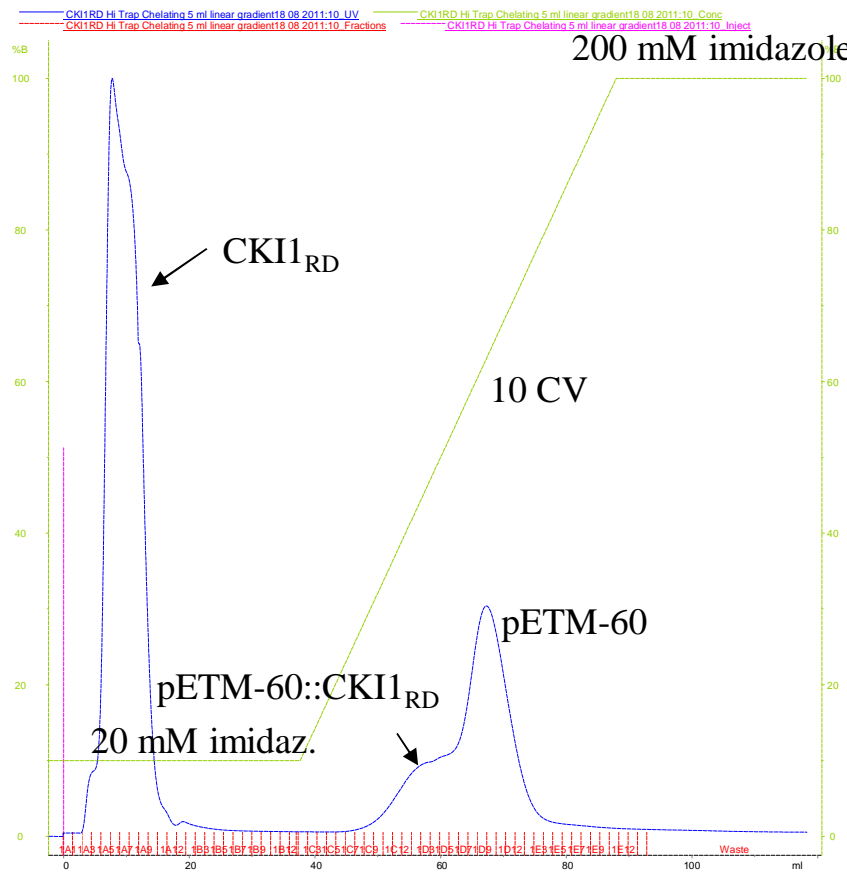
His-tagged protein and IMAC under native conditions

Four-step purification of *Arabidopsis* CKI1_{RD}

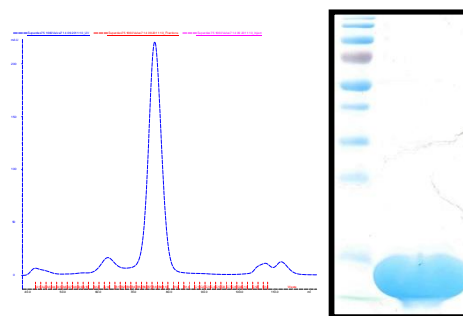
1. Affinity purification (MCAC)
2. Tag removal (TEV protease)
3. Affinity purification (MCAC)
4. Size exclusion chromatography

Ub-SGSG-HisTag-SA-TEV-AME-CKI1

3. Affinity purification after TEV cleavage



4. Size-exclusion chromatography



1 L ~10-20 mg for TB
and M9

Pekárová B.

Doporu ená literatura

Makrides SV (1996) **Strategies for Achieving High-Level Expression of Genes in *Escherichia coli*.** Microb.Review 60, (512-538).

Simpson RJ; Adams PD; Golemis E

Basic methods in protein purification and analysis: a laboratory manual,
Cold Spring Harbor, N.Y. : Cold Spring Harbor Laboratory Press, 2009,
436 s., ISBN 978-0-87969-868-3

